

第十一章

回轉体ノ強サ

Strength of Rotating Bodies,

八三、回轉環若クハ回轉輪縁ニ起ル内力、

Stress in Rotating Ring or Wheel Rim.

環若クハ輪縁カ其ノ重心ヲ通シ中心面ニ直角ナル軸線ノ廻リニ旋轉スルトキハ、其ノ慣性ニヨリ材料内ニ輪張内力ヲ起スモノニシテ、若シ環ノ沿徑寸法カ半径ニ比シ小ナルトキハ、恰カモ内壓ヲ受クル薄キ圓筒ノ場合ニ於ケルト同様、其ノ輪張内力ハ殆ント齊均ナリ。

今 r = 回轉環ノ半径 (吋)

ω = 角速度 (ラヂアン/秒)

A = 環ノ沿徑切斷面積 (平方吋)
Area of Cross section.

w = 材料ノ一立方吋ノ重量 (听)

$v = \omega r$ = 環ノ各点ガ有スル線速度 (吋/秒)

トスレバ

輪縁ノ長サ δs ニ對スル沿徑内向力
radial inward force

$$= \frac{w}{g} \cdot \frac{v^2}{r} A \delta s. \quad (\text{听})$$

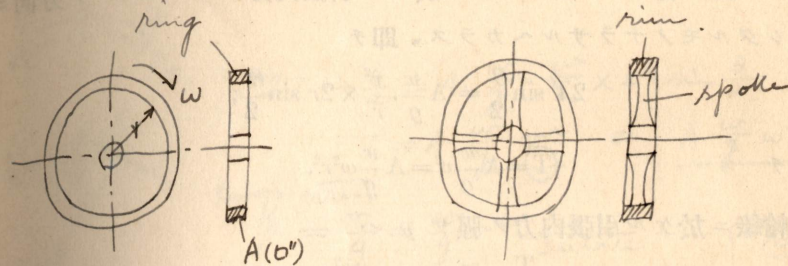
圓周ノ單位長サニ對スル法線内力

$$= \frac{w}{g} \cdot \frac{v^2}{r} A. \quad (\text{听})$$

第 80 圖ニ於テ弧 PQ 即チ $r\theta$ = 對スル合成ノ沿徑内向力ハ RO, 方向ニシテ其ノ大サハ

$$\frac{w}{g} \cdot \frac{v^2}{r} A \times \text{chord } PQ;$$

$$= \frac{w}{g} \cdot \frac{v^2}{r} A \times 2r \sin \frac{\theta}{2}.$$



$$w = \frac{v}{r}$$

$$v = \omega r$$

$$\frac{v^2}{r} = \omega^2 r \dots \text{radial inward accel. (inches/inch/sec)}$$

Radial inward force

$$= m \alpha$$

$$= m \frac{v^2}{r} \quad (\text{pounds})$$

$$= \frac{m}{g} \frac{v^2}{r} \quad \text{lb.}$$

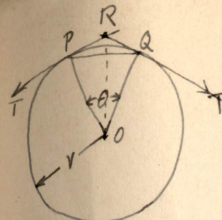
$w = \text{weight/cub inch.}$

$$m = w \cdot A \cdot \delta s$$

$$F = \frac{w}{g} \frac{v^2}{r} A \delta s.$$

$\delta s = \text{unit length}$ (B.P. 1") + 1"

$$F = \frac{w}{g} \cdot \frac{v^2}{r} \cdot A$$



$$PQ = r\theta \approx r\theta \quad \text{since } \theta \text{ is small}$$

$$\text{Radial inward force} = \frac{w}{g} \frac{v^2}{r} A \times 2r \sin \frac{\theta}{2}$$

而シテ此ノ力ハ P 及ヒ Q ニ於ケル引張内力 T ヲ RO ノ方向
分解シタルモノナラサルヘカラス、即チ

$$2T \sin \frac{\theta}{2} = A \frac{w}{g} \frac{v^2}{r} \times 2r \sin \frac{\theta}{2};$$

即チ

$$(T) = A \frac{w}{g} v^2 = A \frac{w}{g} \omega^2 r^2.$$

故ニ輪緣ニ於ケル引張内力ノ強サ p ハ

$$(p) = \frac{T}{A} = \frac{w}{g} v^2 = \frac{wv^2}{12 \times 32.2} \quad \dots \dots \dots (1)$$

f ヲ材料ノ認可内力トセハ

$$g = 32.2 \times 12 \text{ in/sec}^2$$

$$(f) = \frac{w}{g} v^2$$

$$(v) = \sqrt{\frac{fg}{w}} = \sqrt{\frac{f \times 12 \times 32.2}{w}} \text{ in. per sec} \quad \dots \dots \dots (2)$$

上式ハ時、听及ビ秒ヲ單位トセルモノナルモ、一般ノ慣例ニヨリ及ヒ g ノミヲ呪ニテ表ハストキハ (1) 式ハ

$$(p) = \frac{12wV^2}{g} = \frac{12wV^2}{32.2} = 0.3722wV^2 \text{ lbs./in}^2 \quad \dots \dots \dots (3)$$

トナル、又直接タルビン軸車ノ縁抑若クハ勢車縁ニ適用シ得ル様、d Shroud Flywheel rim (時) ヲ環ノ中心線ニ至ル直徑トシ、N ヲ毎分回轉數トセハ (1) 式ヨリ

$$(p) = \frac{wv^2}{12 \times 32.2} = \frac{w}{12 \times 32.2} \left(\frac{\pi d N}{60} \right)^2$$

$$= \boxed{\frac{wd^2 N^2}{141,000}} \quad \dots \dots \dots (4)$$

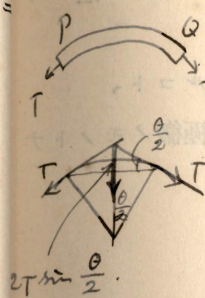
[例題 四五] 鑄鐵製輪縁ニ對スル認可引張内力ヲ每平方吋 1,000 听

材料一立方吋ノ重量ヲ 0.26 听ト見做シ、之ニ對スル周速度ノ最 (cast iron) Peripherical speed 大限ヲ算定セヨ、

$$[V = 102 \text{ ft. per sec. (nearly)}]$$

八四、回轉圓板ニ起ル内力、

回轉板ニ於ケル内力ハ次ノ假定ニヨリテ見出スコト得ヘシ、



$$2T \sin \frac{\theta}{2} = A \cdot \frac{w}{g} \cdot \frac{v^2}{r} \times 2r \sin \frac{\theta}{2}$$

$$T = A \cdot \frac{w}{g} v^2 \quad \text{or} \quad A \frac{w}{g} w^2 r^2.$$

$$\text{hoop stress } p = \frac{T}{A} = \frac{w}{g} v^2 = \frac{wv^2}{32.2 \times 12} \quad \dots \dots \dots (4)$$

$$v = 12 \times V$$

$$V: \text{ft/sec}$$

$$g = 12 \times 32.2$$

$$g: \text{ft/sec}^2$$

$$p = \frac{wv^2}{g} = \frac{12^2 \times V^2 \times w}{12 \times 32.2} = \frac{12}{32.2} \times V^2 \times w$$

$$= 0.3722 w V^2 \text{ lb/in}^2$$

$$\text{Diagram of a thin-walled cylindrical shell with inner diameter } d \text{ and outer diameter } D. \text{ The formula is } v = \frac{\pi d N}{60} \text{ (inch/sec).}$$

(45) 公式ヨリ

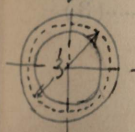
$$f = 0.3722 w V^2$$

$$f = 4,000 \text{ lb/in}^2$$

$$w = 0.26 \text{ lb/cub.in.}$$

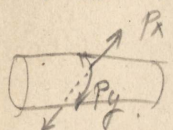
$$V = \frac{1000}{0.26 \times 0.3722} = 1035 \quad \text{or } V = 102$$

(8x) The thin rim of a wheel 3 feet diameter is made of steel, weighing 0.28 lbs per cub. inch. Neglecting the effect of the spoke, how many revolutions per min. may it make without the stress exceeding 10 tons/in² and how much is the diameter of the wheel increased? (E = 30 x 10⁶ lb/in²)



- (1) 回轉圓板ハ其中心ニ法線ナル直線ヲ軸トシテ回轉シ居ル
 (2) 圓板ノ厚サハ各部一様ナルコト、
 (3) 圓板ノ厚サハ其ノ直徑ニ比較シテ甚タ小ナルコト、

斯ノ如ク假定スルトキハ沿軸方向ニ於ケル主内力ハ極微ノモノトナ
ル、今(第81圖)



$$p_x = \text{沿徑生内力ノ強サ};$$

$$p_y = \text{輪張内力ノ強サ};$$

$$t = \text{圓板ノ厚サ};$$

$$R_1 = \text{圓板ノ外徑};$$

$$R_2 = \text{圓板ノ内徑};$$

$$w = \text{圓板ノ單位容積ノ重量};$$

$$\omega = \text{角速度};$$

Grossman's Solution

トシ任意ノ半徑 x = 於ケル圓板ノ小部分ニ對スル力ノ作用ヲ考フレ
ハ次ノ如シ、

$$\text{圓板ノ小部分ノ容積} = x\delta\theta \times \delta x \times t;$$

$$\text{Force} = \frac{w}{g} \omega^2 x \cdot t \cdot x \delta\theta \cdot \delta x \dots \dots \dots (1)$$

此ノ力ハ p_x 及ビ p_y ニヨリテ圓板ノ小部分ニ作用スル力ノ合力ニ
等シ、即テ

$$\begin{aligned} \text{Force} &= t \left[p_y \cdot \delta x \cdot 2 \sin \frac{\delta\theta}{2} + p_x \cdot 2x \sin \frac{\delta\theta}{2} \right. \\ &\quad \left. - (p_x + \delta p_x) \cdot 2(x + \delta x) \sin \frac{\delta\theta}{2} \right]. \end{aligned}$$

$$\therefore \text{Force} = t(p_y \delta x - p_x \delta x - x \delta p_x) \delta\theta \dots \dots \dots (2)$$

(1) 式ト (2) 式トハ相等シカラサルヘカラス、

$$\begin{aligned} \therefore p_y &= \frac{w}{g} \omega^2 x^2 + p_x + x \frac{dp_x}{dx} \\ &= \frac{w}{g} \omega^2 x^2 + \frac{d}{dx}(xp_x) \dots \dots \dots (3) \end{aligned}$$

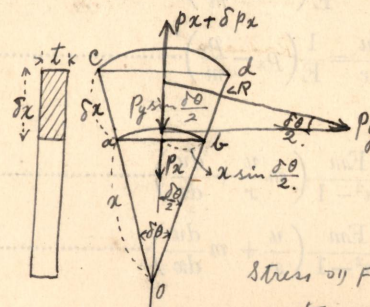
トシ半径 x に於ケル圓板ノ小部分ニ作用スル力ノ合力ニ
等シ、且總モリセイムヘテ、
斯ノ如ク假定スルトキハ沿軸方向ニ於ケル主内力ハ極微ノモノトナ

(b)

.....

(c)

Grossman's Solution



$$\begin{aligned} &\text{volume of small portion} \\ &x \delta\theta \times \delta x \times t. \\ &\text{Centrifugal force} \approx \\ &\text{Force} = \frac{m}{g} \frac{\omega^2}{t} \end{aligned}$$

$$\frac{\omega^2}{r} = \omega^2 r$$

$$\text{Force} = \frac{w}{g} \omega^2 x \cdot t \cdot x \delta x \delta\theta \dots \dots \dots (1)$$

Stress or Force 云々

$$\begin{aligned} \text{Force} &= 2 \cdot \delta x \cdot t \cdot p_y \sin \frac{\delta\theta}{2} \dots \dots \dots \text{radial component} \\ &+ 2 \cdot \delta x \cdot t \cdot x \sin \frac{\delta\theta}{2} \end{aligned}$$

$$(ab + bc) = ab + bc$$

$$- (p_x + \delta p_x) t \cdot 2(x + \delta x) \sin \frac{\delta\theta}{2}$$

$$= t(p_y \delta x \cdot 2 \sin \frac{\delta\theta}{2} + p_x \delta x \cdot 2 \sin \frac{\delta\theta}{2} - (p_x + \delta p_x) \cdot 2(x + \delta x) \sin \frac{\delta\theta}{2})$$

$$= t(p_y \delta x + p_x \delta x - \delta p_x \cdot 2x) \sin \frac{\delta\theta}{2}$$

$$= t(p_y \delta x - p_x \delta x - \delta p_x \cdot 2x) \sin \frac{\delta\theta}{2} \dots \dots \dots (2)$$

(1) = (2)

$$\begin{aligned} \frac{w}{g} \omega^2 x \cdot t \cdot \delta x \cdot \delta\theta &= t(p_y \delta x - p_x \delta x - \delta p_x \cdot 2x) \delta\theta \\ \delta x &= \frac{w}{g} \omega^2 x^2 \end{aligned}$$

$$\therefore p_y = \frac{w}{g} \omega^2 x^2 + p_x + x \frac{dp_x}{dx} = \frac{w}{g} \omega^2 x^2 + \frac{d}{dx}(x \cdot p_x)$$

Strain マリ P_y や P_x よレズ。

内力ニ由リ x ニ對スル沿徑方向ノ變位ヲ u トスレハ、半徑 x ナリシモノハ内力ノ作用ヲ受ケタル後ハ $x+u$ ノ長サトナリ、輪歪 e ハ次ノ如シ、

$$e_y = \frac{2\pi(x+u) - 2\pi x}{2\pi x} = \frac{u}{x} \quad \dots \dots \dots (4)$$

歪ヲ生シタル後此細小片ノ沿徑方向ノ巾ヲ求ムレハ

$$x + \delta x + u + \delta u - (x + u) = \delta x + \delta u.$$

沿徑方向ノ歪

$$e_x = \frac{\delta x + \delta u - \delta x}{\delta x} = \frac{du}{dx} \quad \text{limit } y \rightarrow 0 \quad \dots \dots \dots (5)$$

$$\therefore (4) \text{ 式ニヨリ} \quad \frac{u}{x} = \frac{1}{E} \left(P_y - \frac{P_x}{m} \right) \quad \dots \dots \dots (6)$$

$$(5) \text{ 式ニヨリ} \quad \frac{du}{dx} = \frac{1}{E} \left(P_x - \frac{P_y}{m} \right) \quad \dots \dots \dots (7)$$

(6) 及ビ (7) 式ニヨリ

$$P_y = \frac{Em}{m^2 - 1} \left(m \frac{u}{x} + \frac{du}{dx} \right) \quad \dots \dots \dots (8)$$

$$P_x = \frac{Em}{m^2 - 1} \left(\frac{u}{x} + m \frac{du}{dx} \right) \quad \dots \dots \dots (9)$$

此ノ値ヲ (3) 式ニ代入スレハ

$$\frac{d^2u}{dx^2} + \frac{1}{x} \frac{du}{dx} - \frac{u}{x^2} = - \frac{w}{g} \omega^2 \frac{m^2 - 1}{m^2 E} x \quad \dots \dots \dots (10)$$

(10) 式ノ解法次ノ如シ、

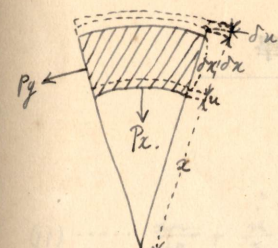
(i) Complementary function ヲ求ムレハ、

$$\frac{d^2u}{dx^2} + \frac{1}{x} \frac{du}{dx} - \frac{u}{x^2} = \frac{d^2u}{dx^2} + \frac{d}{dx} \left(\frac{u}{x} \right) = 0;$$

上式ヲ積分スレハ

$$\frac{du}{dx} + \frac{u}{x} = \text{constant} = 2A \quad (\text{say}) \quad \dots \dots \dots (11)$$

$$x \frac{du}{dx} + u = 2Ax,$$



Circumferential strain.

$$e_y = \frac{2\pi(x+u) - 2\pi x}{2\pi x}$$

$$= \frac{2\pi u + 2\pi u - 2\pi u}{2\pi x}$$

$$= \frac{u}{x} \quad \dots \dots \dots (4)$$

$$e_x = \frac{\delta x + \delta u - \delta x}{\delta x} = \frac{du}{dx} \quad \text{lim. } y \rightarrow 0 \quad \dots \dots \dots (5)$$

$$e_y = \frac{1}{E} P_y - \frac{1}{E} \frac{P_x}{m} \quad \dots \dots \dots (6)$$

$$\frac{u}{x} = \frac{1}{E} \left(P_y - \frac{P_x}{m} \right) \quad \dots \dots \dots (6)$$

$$e_x = \frac{1}{E} \left(P_x - \frac{P_y}{m} \right) \quad \dots \dots \dots (7)$$

$$\frac{du}{dx} = \frac{1}{E} \left(P_x - \frac{P_y}{m} \right) \quad \dots \dots \dots (7)$$

$$\frac{dy}{dx} + p \frac{dy}{dx} + Qy = F \quad (A)$$

P, Q, F : given functions.

$\frac{dy}{dx} + p \frac{dy}{dx} + Qy = 0$, general solution
 $y = C$

$y = C$ -- complementary function

(A), particular integral $\neq 0$?

$y = u$

$\int u + C$ complete solution

$y = w + u$

$$\frac{d(ux)}{dx} = 2Ax,$$

上式ヲ積分スレハ

$$ux = Ax^2 + B;$$

$$\therefore e_y = \frac{u}{x} = A + \frac{B}{x^2} \quad \dots \dots \dots \quad (12)$$

(11) 及び (12) 式ニヨリ、

$$e_x = \frac{du}{dx} = A - \frac{B}{x^2} \quad \dots \dots \dots \quad (13)$$

(ii) (10)式 Particular integral ノ求ムレハ、

$$u = Cx^3 \quad (\text{assume})$$

$$\therefore C = -\frac{w}{g} \frac{\omega^2}{8E} \frac{m^2 - 1}{m^2}.$$

之ニ依テ (10)式 complete solution ノ。

$$e_y = \frac{u}{x} = A + \frac{B}{x^2} - \frac{w}{g} \frac{\omega^2}{8E} \frac{m^2 - 1}{m^2} x^2 \quad \dots \dots \dots \quad (14)$$

$$e_x = \frac{du}{dx} = A - \frac{B}{x^2} - \frac{3w}{g} \frac{\omega^2}{8E} \frac{m^2 - 1}{m^2} x^2 \quad \dots \dots \dots \quad (15)$$

此ノ値ヲ (8) 及び (9) 式ニ代入スルキハ、

$$\begin{aligned} \text{Radial principal stress } p_x &= \frac{Em}{m^2 - 1} \left\{ (m+1)A - (m-1) \frac{B}{x^2} \right. \\ &\quad \left. - (3m+1) \frac{w}{g} \frac{\omega^2}{8E} \frac{m^2 - 1}{m^2} x^2 \right\} \quad \dots \dots \dots \quad (16) \end{aligned}$$

$$\begin{aligned} \text{circumferential principal stress } p_y &= \frac{Em}{m^2 - 1} \left\{ (m+1)A + (m-1) \frac{B}{x^2} \right. \\ &\quad \left. - (m+3) \frac{w}{g} \frac{\omega^2}{8E} \frac{m^2 - 1}{m^2} x^2 \right\} \quad \dots \dots \dots \quad (17) \end{aligned}$$

(A) 中央ニ孔アル圓板ノ場合、前式ニ於ケル A 及ビ B ノ値ヲ

定メントスルニハ (第 81 圖)

$$\begin{aligned} \text{outermost fibre } x = R_1 &\quad \text{ナルトキハ} \quad p_x = 0 \\ x = R_2 &\quad \text{ナルトキハ} \quad p_x = 0. \end{aligned}$$

$$(11) \dots \dots \frac{du}{dx} + \frac{u}{x} = 2A \quad \dots \dots \dots$$

$$\begin{aligned} \text{radial strain } \epsilon_x &= \frac{du}{dx} = 2A - \frac{u}{x} = 2A - A - \frac{B}{x^2} \\ &= A - \frac{B}{x^2}. \end{aligned}$$

$$u = Cx^3$$

$$\begin{aligned} \frac{u}{x} &= Cx^2 & \frac{du}{dx} &= 3Cx^2 & \frac{d^2u}{dx^2} &= 6Cx \end{aligned}$$

$$6Cx + 3Cx - Cx = -\frac{w}{g} \omega^2 \frac{m^2 - 1}{m^2 E} x.$$

$$\therefore 8C = -\frac{w}{g} \omega^2 \frac{m^2 - 1}{m^2 E} \quad \therefore C = -\frac{w}{g} \frac{\omega^2}{8E} \frac{m^2 - 1}{m^2}$$

此ノ値ヲ (16) 式ニ入ルレハ

$$A = \frac{w}{g} \cdot \frac{\omega^2}{8E} \cdot \frac{(3m+1)(m-1)}{m^2} (R_1^2 + R_2^2),$$

$$B = \frac{w}{g} \cdot \frac{\omega^2}{8E} \cdot \frac{(3m+1)(m+1)}{m^2} R_1^2 R_2^2$$

再び此ノ値ヲ (16) 式ニ入ルレハ

$$\text{Radial } \left\{ \begin{array}{l} p_x = \frac{w}{g} \cdot \frac{\omega^2}{8m} (3m+1) \left(R_1^2 + R_2^2 - \frac{R_1^2 R_2^2}{x^2} - x^2 \right) \end{array} \right. \quad (18)$$

$$\text{Circumf } \left\{ \begin{array}{l} p_y = \frac{w}{g} \cdot \frac{\omega^2}{8m} (3m+1) \left(R_1^2 + R_2^2 + \frac{R_1^2 R_2^2}{x^2} \right) - (m+3)x^2 \end{array} \right. \quad (19)$$

p_y の値ハ常ニ正ニシテ x の增加ト共ニ減少ス、而シテ其ノ最大値
(外周)

又 $x=R_2$ ナルトコロニアリ、
 $x_{(\min)}=R_1$

$$p_y(\max.) = \frac{w}{g} \cdot \frac{\omega^2}{4m} \left\{ (3m+1)R_1^2 + (m-1)R_1^2 \right\} \quad (20)$$

R_2 の値カ漸次減小スルトキハ $p_y(\max.)$ の次ノ値ニ近ツクニ至ル、
即チ $(neglected)$

$$\frac{w}{g} \cdot \frac{\omega^2}{4m} (3m+1)R_1^2 \quad (21)$$

p_x の値ハ $x=R_1$ 及ビ $x=R_2$ ノトコロニ於テハ零ニシテ、 R_1 及ヒ
 R_2 の中間ニ於テハ常ニ正ニシテ引張力ナリ、

$$\frac{dp_x}{dx} \propto \left(\frac{2R_1^2 R_2^2}{x^3} - 2x \right)$$

$x=\sqrt{R_1 R_2}$ ナルトキハ零ナリ、

$p_x(\max.)$ の値ハ次ノ如シ、

$$p_x(\max.) = \frac{w}{g} \cdot \frac{\omega^2}{8m} (3m+1) (R_1 - R_2)^2.$$

(B) 實體圓板、圓板ノ中心ニ孔ナキモノ所謂實體圓板ニ於テハ
(第81圖)

$$\begin{aligned} \text{outermost fibre } \dots & x=R_1 \quad \text{ナルトキハ} \quad p_x=0, \\ & x=0 \quad \text{ナルトキハ} \quad u=0. \end{aligned}$$

$$\begin{aligned} x=R_1 & \quad p_x=0 \\ x=R_2 & \quad p_x=0 \end{aligned} \quad \left. \begin{aligned} x=R_1 & \quad p_x=0 \\ x=R_2 & \quad p_x=0 \end{aligned} \right\} \quad (16) \text{式ニ代入ス。}$$

$$\left\{ \begin{aligned} 0 &= \frac{Ew}{m^2-1} \left\{ A(m+1) - (m-1) \frac{B}{R_1^2} - (3m+1) \frac{w}{g} \frac{\omega^2}{8E} \frac{m^2-1}{m^2} R_1^2 \right\} \end{aligned} \right. \quad (a)$$

$$\left\{ \begin{aligned} 0 &= \frac{Ew}{m^2-1} \left\{ A(m+1) - (m-1) \frac{B}{R_2^2} - (3m+1) \frac{w}{g} \frac{\omega^2}{8E} \frac{m^2-1}{m^2} R_2^2 \right\} \end{aligned} \right. \quad (b)$$

$$(a)-(b) \quad B(m-1) \left(\frac{1}{R_1^2} - \frac{1}{R_2^2} \right) - (3m+1) \frac{w}{g} \frac{\omega^2}{8E} \frac{m^2-1}{m^2} (R_1^2 - R_2^2) = 0.$$

$$(b) \quad B(m-1) \left(\frac{R_1^2 - R_2^2}{R_1^2 R_2^2} \right) - \frac{w \omega^2}{8gE} \frac{(3m+1)(m-1)(R_1^2 - R_2^2)}{m^2} = 0.$$

$$(b) \quad (R_1^2 - R_2^2) \left\{ \frac{B(m-1)}{R_1^2 R_2^2} - \frac{w \omega^2}{8gE} \frac{(3m+1)(m-1)}{m^2} \right\} = 0.$$

$$\begin{aligned} & R_1^2 - R_2^2 \neq 0, \\ & \therefore \frac{B(m-1)}{R_1^2 R_2^2} - \frac{w \omega^2}{8gE} \frac{(3m+1)(m-1)}{m^2} = 0. \end{aligned}$$

$$(b) \quad \therefore B = \frac{w}{g} \frac{\omega^2}{8E} \frac{(3m+1)(m-1)}{m^2} R_1^2 R_2^2$$

$$\text{Similarly } \left\{ \begin{array}{l} A = \frac{w}{g} \frac{\omega^2}{8E} \frac{(m-1)(3m+1)}{m^2} (R_1^2 + R_2^2) \end{array} \right.$$



$$x=R_1 \quad p_x=0$$

$$x=R_2 \quad p_x=0.$$

$$\frac{dp_x}{dx} \propto \left(\frac{2R_1^2 R_2^2}{x^3} - 2x \right)$$

$$\frac{2R_1^2 R_2^2}{x^3} - 2x = 0 \quad \text{トオク。}$$

$$2R_1^2 R_2^2 - 2x^4 = 0.$$

$$x^4 = R_1^2 R_2^2$$

$$\therefore x = \sqrt{R_1 R_2} \quad p_x = \max.$$

$$(a) \quad \left(\frac{R_1 + R_2 - x}{R_1} \right)^{\frac{1}{2}} = \frac{w}{g} \frac{\omega^2}{8E} \frac{m^2-1}{m^2}$$

$$(b) \quad \left(\frac{R_1 + R_2 - x}{R_2} \right)^{\frac{1}{2}} = \frac{w}{g} \frac{\omega^2}{8E} \frac{m^2-1}{m^2}$$

$$(c) \quad \left(\frac{R_1 + R_2 - x}{R_1 R_2} \right)^{\frac{1}{2}} = \frac{w}{g} \frac{\omega^2}{8E} \frac{m^2-1}{m^2}$$

應用力學

$$\left. \begin{array}{l} (14) = x=0, u=0 \\ (16) = x=R_1, p_x=0 \end{array} \right\} \text{より } A, B \text{ より } A, B \text{ の } (17) \text{ が得られる} \quad (22), \quad (16) = 1 \text{ となる} \\ p_y = \frac{w}{g} \frac{\omega^2}{8m} \left\{ (3m+1)R - m+3)x^2 \right\} \quad (22)$$

$$\left. \begin{array}{l} A = (3m+1) \frac{w \omega^2 m^2}{g 8E} \frac{1}{m R^2} \\ B = 0 \end{array} \right\} p_x = \frac{w}{g} \frac{\omega^2}{8m} (3m+1)(R_1^2 - x^2) \quad (23)$$

$$p_y(\max.) = \frac{w}{g} \frac{\omega^2}{8m} (3m+1)R_1^2$$

$$\left. \begin{array}{l} R_{\text{inner}} \text{ に } \frac{3m+1}{8m} \text{ 代入} \\ p_y(\max.) = \frac{3m+1}{8m} \frac{w}{g} (\omega R_1)^2 \end{array} \right\} \quad (24)$$

$$p_x(\max.) = \frac{w}{g} \frac{\omega^2}{8m} (3m+1)R_1^2 \quad (25)$$

八五、回轉圓盤の起る内力、

Rotating Cylinder

圓盤が其の軸の回転軸とシテ回転スルキ之ニ起る各内力ハ次ノ如クニシテ見出スコトヲ得可シ、

 x = 沿徑方向； z = 沿軸方向； $y = x$ 及ビ z = 垂直ナル方向； p_x = 沿徑内力； p_y = 輪内力； p_z = 沿軸内力；

トスレハ

Rotating disc の場合と同様シテ。

$$p_y = \frac{w}{g} \omega^2 x^2 + p_x + x \frac{dp_x}{dx} \quad (1)$$

圓板ノ場合ト同様半径 x ナル點ニ於ケル變位ヲ u トスレハ各主内力ニヨル歪ハ

$$\text{radial strain: } e_x = \frac{du}{dx} = \frac{1}{E} \left(p_x - \frac{p_y + p_z}{m} \right) \quad (2)$$

$$\text{circumferential strain: } e_y = \frac{u}{x} = \frac{1}{E} \left(p_y - \frac{p_x + p_z}{m} \right) \quad (3)$$

$$\text{axial strain: } e_z = \frac{1}{E} \left(p_z - \frac{p_x + p_y}{m} \right) \quad (4)$$

Steel, 當今：

$$m=4, \quad w=0.28 \frac{\text{lb}}{\text{cu.in.}}, \quad g=32.2 \times 12''/\text{sec}^2$$

 $n = R.P.M.$ 1. Central hole, $p_w \neq 0$.

$$p_x(\max.) = (13R_1^2 + 3R_2^2) \times 4.97 \times 10^{-7} \times n^2 \frac{\text{lb}}{\text{in.}^2}$$

$$p_y(\max.) = (6.46R_1^2 + 1.49R_2^2) \times n^2 \times 10^{-6} \frac{\text{lb}}{\text{in.}^2}$$

2. Solid disc, $p_w = 0$.

$$p_x(\max.) = p_y(\max.) = 3.23 n^2 R^2 \times 10^{-6} \frac{\text{lb}}{\text{in.}^2}$$

$$(Ex) 1. 1場合ニ於テ, \left\{ \begin{array}{l} R_1 = 18'' \\ R_2 = 5'' \\ n = 2250 \end{array} \right. \quad \text{を用ひ。} \quad (2)$$

$$p_x(\max.) = (13 \times 18^2 + 3 \times 5^2) \times 4.97 \times 10^{-7} \times 2250^2$$

$$= 10,800 \frac{\text{lb}}{\text{in.}^2}$$

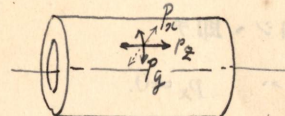
$$p_y(\max.) = (6.46 \times 18^2 + 1.49 \times 5^2) \times 2250^2 \times 10^{-6}$$

$$= 10,800 \frac{\text{lb}}{\text{in.}^2}$$

$$2. 1場合ニ於テ, (R_1 = 18'', n = 2250).$$

$$p_x(\max.) = p_y(\max.) = 3.23 \times 2250^2 \times 18^2 \times 10^{-6}$$

$$= 5,290 \frac{\text{lb}}{\text{in.}^2}$$



而シテ e_z $\propto x$ ニ關シテハ一定ノモノナリ、

$$(4) \text{式より} \quad p_z = \frac{p_x + p_y}{m} + Ee_z \quad \dots\dots\dots(5)$$

(2) 及ヒ (3) 式ニ此ノ値ヲ代入スレハ

$$p_y = \frac{Em}{(m-2)(m+1)} \left\{ (m-1) \frac{u}{x} + \frac{du}{dx} + e_z \right\} \quad \dots\dots\dots(6)$$

$$p_x = \frac{Em}{(m-2)(m+1)} \left\{ (m-1) \frac{du}{dx} + \frac{u}{x} + e_z \right\} \quad \dots\dots\dots(7)$$

(1) 式ニヨリ (6),(7) 式ニ(4)式ニ代入ス。

$$\left\{ \begin{array}{l} P-38 (10) \text{式参照} \\ \end{array} \right. \quad x \frac{d^2u}{dx^2} + \frac{du}{dx} - \frac{u}{x} = - \frac{w}{g} \omega^2 \frac{(m+1)(m-2)}{Em(m-1)} x^2 \quad \dots\dots\dots(8)$$

$$\therefore \frac{u}{x} = A + \frac{B}{x^2} - \frac{w}{g} \omega^2 \frac{(m+1)(m-2)}{8Em(m-1)} x^2 \quad \dots\dots\dots(9)$$

$$\frac{du}{dx} = A - \frac{B}{x^2} - \frac{3w}{g} \omega^2 \frac{(m+1)(m-2)}{8Em(m-1)} x^2 \quad \dots\dots\dots(10)$$

(A) 圓筒、回轉圓筒ノ場合ハ次ノ如シ、即チ

$$x=R_1 \quad \text{ナルトキハ} \quad p_x=0.$$

$$x=R_2 \quad \text{ナルトキハ} \quad p_x=0.$$

A 及ヒ B ヲ見出ストキハ

$$B = \frac{w}{g} \frac{\omega^2}{8} \frac{(m+1)(3m-2)}{Em(m-1)} R_1^2 R_2^2 \quad \dots\dots\dots(11)$$

$$A = \frac{w}{g} \frac{\omega^2}{8} \frac{(m+1)(m-2)(3m-2)}{Em^2(m-1)} (R_1^2 + R_2^2) - \frac{e_z}{m} \quad \rightarrow \text{未解 (11) 式へ}$$

e_z ノ値、今圓筒ヲ其ノ軸ニ垂直ナル平面ニテ二分シテ考フレバ、

free end (軸) \rightarrow 定義ノ有無又シ
中端を断面半径(半径方向)ニテ垂直モカ又ヘ
引張カク有セス。

$$\int_{R_2}^{R_1} p_z x dx = 0 \quad \dots\dots\dots(13)$$

(5)=(6),(7),(9) 及ビ (10) 式ニヨリ

$$p_z = \frac{Em}{(m-2)(m+1)} \left\{ 2A - \frac{w}{g} \frac{\omega^2}{2} \frac{(m+1)(m-2)}{Em(m-1)} x^2 + \frac{2e_z}{m} \right\} + Ee_z \quad \dots\dots\dots(14)$$

(12) 式ニヨリ

(14) 式 & (2) 式ノ代入シ、兩回 X ト算ス。

$$p_z x = \frac{w}{g} \frac{\omega^2}{4} \left\{ \frac{3m-2}{m(m-1)} (R_1^2 + R_2^2) x - \frac{2x^3}{m-1} \right\} + E e_z x \quad \dots \dots \dots (15)$$

(13) 式ニヨリ (15) 式ノ代入シテ Integration シフツ。

$$(13) \text{ 式 } \frac{w}{g} \frac{\omega^2}{4} \left\{ \frac{3m-2}{m(m-1)} \frac{R_1^4 - R_2^4}{2} - \frac{R_1^4 - R_2^4}{2(m-1)} \right\} + \frac{1}{2} E e_z (R_1^2 - R_2^2) = 0.$$

$$e_z = - \frac{w}{g} \frac{\omega^2}{2} \frac{R_1^2 + R_2^2}{mE} \dots \dots \dots (16)$$

$$(12) \text{ 式 } A = \frac{w}{g} \frac{\omega^2}{E} (R_1^2 + R_2^2) \frac{3m-5}{8(m-1)} \dots \dots \dots (17)$$

之ニ由リテ各方向ノ歪ハ (9) 式ニヨリ

$$\begin{aligned} \frac{u}{x} &= \frac{w}{g} \frac{\omega^2}{8E} \left\{ \frac{3m-5}{m-1} (R_1^2 + R_2^2) \right. \\ &\quad \left. + \frac{(m+1)(3m-2)}{m(m-1)} \frac{R_1^2 R_2^2}{x^2} - \frac{(m+1)(m-2)}{m(m-1)} x^2 \right\} \dots \dots \dots (18) \end{aligned}$$

$$\begin{aligned} \frac{du}{dx} &= \frac{w}{g} \frac{\omega^2}{8E} \left\{ \frac{3m-5}{m-1} (R_1^2 + R_2^2) \right. \\ &\quad \left. - \frac{(m+1)(3m-2)}{m(m-1)} \frac{R_1^2 R_2^2}{x^2} - \frac{3(m+1)(m-2)}{m(m-1)} x^2 \right\} \dots \dots \dots (19) \end{aligned}$$

各内力ヲ求ムレハ、 (6)(7) 式及 (8)(9) 式ノ代入シテ (20)(21) やホウ。

$$\begin{cases} p_y = \frac{w}{g} \frac{\omega^2}{8} \left\{ \frac{3m-2}{m-1} \left(R_1^2 + R_2^2 + \frac{R_1^2 R_2^2}{x^2} \right) - \frac{m+2}{m-1} x^2 \right\} \dots \dots \dots (20) \\ p_x = \frac{w}{g} \frac{\omega^2}{8} \frac{3m-2}{m-1} \left(R_1^2 + R_2^2 - \frac{R_1^2 R_2^2}{x^2} - x^2 \right) \dots \dots \dots (21) \\ p_z = \frac{w}{g} \frac{\omega^2}{4} \frac{1}{m-1} (R_1^2 + R_2^2 - 2x^2) \dots \dots \dots (22) \end{cases}$$

p_y ハ $x=R_2$ ノトキ最大値ヲ有ス、即チ

$$p_y(\max.) = \frac{w}{g} \frac{\omega^2}{4} \left(\frac{3m-2}{m-1} R_1^2 + \frac{m-2}{m-1} R_2^2 \right) \dots \dots \dots (23)$$

p_x ハ常ニ正ニシテ $x=R_1$ 及ビ $x=R_2$ ナルトキハ零ナリ、

又 $x=\sqrt{R_1 R_2}$ ナルトキハ最大値ヲ有ス、即チ

$$p_x(\max.) = \frac{w}{g} \frac{\omega^2}{8} \frac{3m-2}{m-1} (R_1 - R_2)^2 \dots \dots \dots (24)$$

$$\begin{aligned} \frac{dp_x}{dx} &= R_1 R_2 \frac{3m-2}{8} - 2x = 0. & p_x &= \frac{w}{g} \frac{\omega^2}{8} \frac{3m-2}{m-1} (R_1 + R_2 - \frac{R_1 R_2}{R_1 + R_2} - R_1 R_2) \\ x^2 &= R_1 R_2 & x &= \sqrt{R_1 R_2} \\ &= \frac{w}{g} \frac{\omega^2}{8} \frac{3m-2}{m-1} (R_1 - R_2)^2 \end{aligned}$$

應用力學

$$P_2 = \frac{w}{g} \frac{\omega^2}{4m-1} (R_i^2 + R_o^2 - 2x^2) \quad \text{when } x = \sqrt{\frac{R_i^2 + R_o^2}{2}}$$

$P_2 \rightarrow 0$

$p_x \text{ と } x = R_o \text{ は於テ最大値ヲ有シ、 } x \text{ の增加ト共ニ漸次其ノ値ヲ減}$

少シ遂ニ負トナル。

各内力ノ状態ハ「第82圖」ニ示スカ如シ、

(B) 實體圓筒、此ノ場合ニ於ケル各内力ハ次ノ如シ、(第83圖)

$$\begin{aligned} x = R_i, P_x = 0 & \quad \text{及} (9)(10) \text{ 式} \Rightarrow \text{適用シ。} \quad (B=0, A=\frac{w\omega^2(m+1)(m-2)(3m-2)}{8gE} R_i^2 - \frac{c_0}{m}) \\ x=0, u=0 & \quad P_y = \frac{w\omega^2}{8} \left(\frac{3m-2}{m-1} R_i^2 - \frac{m+2}{m-1} x^2 \right) \end{aligned} \quad (25)$$

$$P_x = \frac{w\omega^2}{g} \frac{3m-2}{m-1} (R_i^2 - x^2) \quad (26)$$

$$P = \frac{w\omega^2}{g} \frac{1}{4} \frac{1}{m-1} (R_i^2 - 2x^2) \quad (27)$$

[例] $g=32.2 \times 12$ 時/秒/秒;

$$n=\text{每分回轉數}, \quad \omega = \frac{2\pi n}{60}$$

(1) 鑄鐵ノ場合、 $w=0.26$ 听/立方吋; $m=3$.

(i) 中空圓筒

$$P_y(\max.) = n^2 (6.46 R_i^2 + 0.92 R_o^2) \times 10^{-6} \text{ 听/平方吋}.$$

(ii) 實體圓筒

$$P_y(\max.) = 3.23 n^2 R_i^2 \times 10^{-6} \text{ 听/平方吋}.$$

(2) 軟鋼ノ場合、 $w=0.28$ 听/立方吋; $m=4$.

(i) 中空圓筒

$$P_y(\max.) = n^2 (6.62 R_i^2 + 1.32 R_o^2) \times 10^{-6} \text{ 听/平方吋}.$$

(ii) 實體圓筒

$$P_y(\max.) = 3.31 n^2 R_i^2 \times 10^{-6} \text{ 听/平方吋}.$$

[例題四六] 鑄鐵製中空圓筒アリ、外徑 16 吋、内徑 8 吋ナリ、毎

分回轉數 1040 ノトキノ輪内力ノ強サヲ求ム、

但シ $w=0.26$ 听/立方吋 $m=3$.

$$[P_y(\max.) = 464 \text{ lbs./in.}^2]$$

學

題

解

答

$$2\pi \int_{R_i}^{R_o} P_x x dx = 0 \quad \text{式} 11.$$

$$P_x = -\frac{w\omega^2 R_i^2}{2gme}$$

$$- A = \frac{w\omega^2}{g} \frac{3m-5}{8} R_i^2$$

故 A, B 由 (9) (10) 式代入。而以 (6) (7) 式, $\frac{du}{dx}$, $\frac{dv}{dx}$ 代入又得。
 (25) (26) 及 (27) 式得。

Ex: Compare the periphery velocities for the same maximum intensity of stress of (1) a solid cylinder, (2) a solid thin disc, (3) a thin ring. Take the velocity of the ring as max. then 1 題より $P \propto r^2$. $\omega = \frac{v}{r}$

$$\text{solid cyl: } P = \frac{w}{g} \frac{\omega^2}{8} \frac{3m-2}{m-1} r^2 = \frac{3m-2}{8(m-1)} \frac{w}{g} v_r^2$$

$$\text{solid thin disc: } P = \frac{3m+1}{8m} \frac{w}{g} (\omega r)^2 = \frac{3m+1}{8m} \frac{w}{g} r_a^2$$

$$\text{thin ring: } P = \frac{w}{g} v_r^2 = \frac{w}{g} v_r^2$$

$$\frac{Pq}{w} = \text{const.} \therefore \begin{cases} v_r = \sqrt{\frac{8(m+1)}{3m-2} \frac{Pq}{w}} = \sqrt{2.35} \sqrt{\frac{Pq}{w}} = 1.533 \sqrt{\frac{Pq}{w}} \\ v_a = \sqrt{\frac{8m}{3m+1} \frac{Pq}{w}} = \sqrt{1.435} \sqrt{\frac{Pq}{w}} = 1.56 \sqrt{\frac{Pq}{w}} \end{cases}$$

$$\text{Ex. 46: } \frac{v_r}{v_a} = \sqrt{\frac{Pq}{w}} \quad \therefore v_r : v_a : v_r = 1.533 : 1.56 : 1.$$

$$P_y(\max.) = n^2 (6.46 R_i^2 + 0.92 R_o^2) \times 10^{-6}$$

$$= 1040^2 (6.46 \times 8^2 + 0.92 \times 16^2) \times 10^{-6}$$

$$= 1081600 \times (413 + 1472) \times 10^{-6}$$

$$= 10816 \times 427.72 \times 10^{-4}$$

$$= 463.0000$$

$$= 463.0000$$

$$= 463.0000$$

Ex: The cast iron cylindrical case of a friction clutch is 19" internal diameter and $\frac{7}{8}$ " thick, the internal radial pressure of the friction blocks on the case is 80 lbs/in. and the case rotates about its axis 500 r.p.m. Estimate the greatest intensity of the tensile stress in the material of the case which may be taken as a thin shell. $w = 1.26$ lbs/in. $R_i = 10$ lbs/in. stress.

$$\text{式} 11. P_y(\max.) = n^2 (6.46 R_i^2 + 0.92 R_o^2) \times 10^{-6} \frac{16}{8} = 195 \frac{16}{8} \frac{n^2}{R_i} = 10.375$$

$$\text{内圧力} = 80 \text{ lbs/in.}^2 \quad f = \frac{Pq}{t} = \frac{80 \times \frac{19}{8}}{\frac{7}{8}} = 869 \frac{16}{8} \text{ lbs/in.}^2 \quad \therefore \text{外側最大張内力} \quad P = P_y + f = 1064 \frac{16}{8} \text{ lbs/in.}^2$$

[例題四七] 前題ニ於テ實體圓筒ナルトキノ輪内力ノ強サヲ求ム、又若シ中央ニ直徑 $1/5''$ ノ孔アル場合ハ如何。

$$\begin{cases} p_y(\max.) = 224 \text{ lbs./}\square'' \\ p_x(\max.) = 448.01 \text{ lbs./}\square'' \end{cases}$$

八六、厚サ一様ナラサル回轉圓板ニ起ル内力、

Rotating Disc of Varying Thickness.

「第 84 圖」ノ如ク、回轉圓板ノ場合ト同様ナル符號ヲ用フレバ

$$\text{Radial inward force } = \frac{w}{g} \omega^2 x \cdot x \delta \theta \cdot \delta x \cdot z \quad \text{variable} \quad (1)$$

[See 84 (1) (2)] Internal radial inward force

$$= (p_y \cdot z \cdot \delta x - p_x \cdot z \cdot \delta x - xz \delta p_x - p_x x \delta z) \delta \theta \dots (2)$$

(1) 及ビ (2) 式ニヨリ

$$\begin{aligned} zp_y &= \frac{w}{g} \omega^2 x^2 z + p_x z + p_x x \frac{dz}{dx} + xz \frac{dp_x}{dx} \\ &= \frac{w}{g} \omega^2 x^2 z + \frac{d}{dx}(xzp_x) \end{aligned} \quad \dots (3)$$

前項ニ於ケルカ如ク、

$$\left\{ \begin{array}{l} p_y = \frac{Em}{m^2 - 1} \left(m \frac{u}{x} + \frac{du}{dx} \right) \\ p_x = \frac{Em}{m^2 - 1} \left(\frac{u}{x} + m \frac{du}{dx} \right) \end{array} \right. \quad \dots (4)$$

$$\left\{ \begin{array}{l} p_y = \frac{Em}{m^2 - 1} \left(m \frac{u}{x} + \frac{du}{dx} \right) \\ p_x = \frac{Em}{m^2 - 1} \left(\frac{u}{x} + m \frac{du}{dx} \right) \end{array} \right. \quad \dots (5)$$

此ノ値ヲ (3) 式ニ入ルタルキハ

$$\frac{d^2 u}{dx^2} + \left(\frac{1}{z} \frac{dz}{dx} + \frac{1}{x} \right) \frac{du}{dx} + \left(\frac{1}{mzx} \frac{dz}{dx} - \frac{1}{x^2} \right) u = - \frac{w \omega^2 m^2 - 1}{m^2 E} x \quad \dots (6)$$

此ノ微分方程式ニ於テ $z = kx^n$ トスレバ $\frac{dz}{dx} = nkx^{n-1}$, $\frac{d^2 z}{dx^2} = n(n-1)kx^{n-2}$
 $\frac{du}{dx} = nu' + \frac{du}{dx} = nu' + \frac{n-m}{m} u$

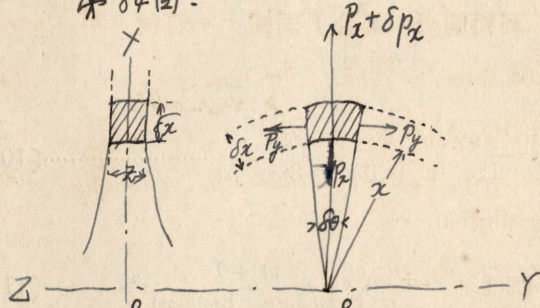
$$\frac{d^2 u}{dx^2} + \frac{n+1}{x} \frac{du}{dx} + \frac{n-m}{mx^2} u = - \frac{w \omega^2 m^2 - 1}{m^2 E} x \quad \dots (7)$$

$$x^2 \frac{d^2 u}{dx^2} + (n+1)x \frac{du}{dx} + \frac{n-m}{m} u = - \frac{w \omega^2 m^2 - 1}{m^2 E} x^3 \quad \dots (8)$$

$$\begin{aligned} 47 \\ p_y(\max) &= 3.23 \times n^2 \times R_1 \times 10^{-6} \\ &= 3.23 \times 1081600 \times 64 \times 10^{-6} \\ &\approx 223,300,000 \text{ lb/in}^2 \\ &= 223.3 \text{ lb/in}^2. \end{aligned}$$

$$\begin{aligned} p_y(\max) &= 1040^2 (6.46 \times 8^2 + 1.92 \times \frac{1}{200}) \times 10^{-6} \\ &= 1081600 \times (413 + 0.0092) \times 10^{-6} \\ &= 10816 \times 413.01 \times 10^{-4} \\ &= 447. \end{aligned}$$

第 84 圖.



Thin disc の axial stress は 0 とす。差支へ。

$$P_z = 0$$

Radius $x + w$ と x との radial displacement y は $w - z$ か?

$$\begin{aligned} \text{Circumferential strain} &= \frac{\epsilon}{E} = \frac{1}{E} \left(P_y - \frac{P_x}{m} \right) \\ \text{radial strain} &= \frac{\epsilon}{E} = \frac{1}{E} \left(P_x - \frac{P_y}{m} \right) \end{aligned} \quad \begin{cases} \text{見合} \\ \text{(4)(5) 両式共} \end{cases}$$

(7) 左辺 $y \partial u + \partial^2 u$ general solution と $\partial^2 u = 0$ の式, Complementary function
又 Complementary function を求めてスルニハ、

×38.

$$u = Cx^\alpha$$

ト假定スレハ、
 $\frac{du}{dx} = C\alpha x^{\alpha-1}, \frac{d^2u}{dx^2} = C\alpha(\alpha-1)x^{\alpha-2}$ 之は (7) すなはち左辺、
 $\partial^2 u = 0$ トオキタルモノハ代入ス。
 $(7) \text{ 式左辺代入シテ}$
 $C\alpha(\alpha-1)x^{\alpha-2} + \frac{n-1}{\alpha} C\alpha x^{\alpha-1} + \frac{n-m}{m} Cx^0 = 0 \quad \alpha^2 + n\alpha + \frac{n}{m} - 1 = 0;$
 $\therefore Cx^{\alpha-2}(d^2 + nd + \frac{n}{m} - 1) = 0 \quad (\text{Complementary function})$
 $\therefore d^2 + nd + \frac{n}{m} - 1 = 0$
 $d_1, d_2 \text{ 代入方程式} = f_1 + f_2, f_2 \text{ は const. とす} \therefore u = C_1 x^{\alpha_1} + C_2 x^{\alpha_2} \dots \dots \dots (9)$

又 Particular integral を求めてスルニハ、

$$u = Bx^3$$

ト假定スレハ

$$B = -\frac{w}{g} \cdot \frac{\omega^2}{E} \cdot \frac{m^2 - 1}{m(3mn + 8m + n)} \dots \dots \dots (10)$$

之ニ由リテ Complete solution ハ

$$u = C_1 x^{\alpha_1} + C_2 x^{\alpha_2} - \frac{w}{g} \cdot \frac{\omega^2}{E} \cdot \frac{m^2 - 1}{m(3mn + 8m + n)} x^3 \dots \dots \dots (11)$$

$\frac{u}{\pi}, \frac{du}{dx}$ より $\frac{u}{\pi}$ 代入し C_1, C_2 は known condition により定められ可ナリ。
 此ノ u の値ヲ (4) 及ヒ (5) 式ニ入ルレハ可ナリ。

八七、均一強ノ圓板、 Disc of Uniform Strength.

若シ沿徑内力及ビ輪内力ノ強サ如何ナル所ニ於テモ相等シク一定ノ
radial stress hoop stress
値ヲ有スル場合ハ

前項(13)式例、
 $\frac{\partial p_y}{\partial x} = \frac{w}{g} \omega^2 x^2 + \frac{d}{dx}(xz p_x) \quad \therefore f = \frac{w}{g} \omega^2 x^2 + f_2 + f x \frac{dz}{dx}$
 $\therefore \frac{w}{g} \omega^2 x^2 + f x \frac{dz}{dx} = 0 \quad f_2 = \frac{w}{g} \omega^2 z x^2 + f \frac{d}{dx}(xz),$
 $f x = ? \text{ 各項を除入レバ}$

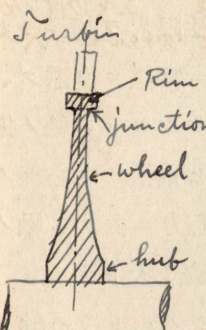
Integrating const. $\frac{w}{g} \frac{\omega^2}{2} x^2 + f_2 x^2 + f x z = 0, \quad \frac{dz}{dx} + \frac{w}{g} \frac{\omega^2}{f} z x = 0,$

$\frac{w}{g} \frac{\omega^2}{f} x^2 + f_2 x^2 + f x z = 0, \quad \frac{d}{dx} \left(z e \frac{w}{g} \cdot \frac{\omega^2}{2f} x^2 \right) = 0,$

Integrate w^2
 $\therefore z = A; \quad z = A - \frac{w}{g} \cdot \frac{\omega^2}{2f} x^2$

之ニ半径 $x + w$ 代入スル事

若シ $x = 0$ ナハ $z = A$.



Known Condition

stress & strain ($\frac{u}{\pi}$), known & condition

Rim & hub = $\frac{1}{2} + \frac{1}{2} u$.

disc & Rim & junction = $\frac{1}{2} + \frac{1}{2} u$

= $\frac{1}{2} + \frac{1}{2} u$ は hoop strain と等シ
 うするべきか?

junction = $\frac{1}{2} + \frac{1}{2} u$ Rim & disc, $\frac{1}{2} + \frac{1}{2} u$

Radial stress intensities, $\frac{1}{2} + \frac{1}{2} u$ 反
 比例キナルヘカス

② 裏強度 (Strength of blade) ... (Impulse)
 W' --- Flow in each blade in lbs per sec.

Ve --- Impulsive velocity of steam in ft. per sec.

F' --- Impulsive force in lbs.

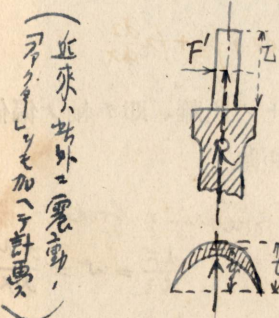
L --- Height of blade in inches

M_B --- Bending moment due to impulse force

I --- Moment of inertia

y --- Distance of neutral axis in inches

f_B --- Stress due to M_B



$$F' = \frac{W'}{g} \times V_e$$

$$M_B = \frac{1}{2} F' \times L$$

$$f_B = \frac{M_B y}{I} = \frac{W' V_e L y}{2 g I}$$

W' --- Wt. of one blade in lbs.

R --- $\frac{1}{2} P.C.D.$

N --- R.P.M.

F --- Centrifugal force is lbs.

A --- sectional area of blade in sq. in.

f_C --- Stress due to F.

$$f_C = F = 0.0003406 \times \frac{W' R N^2}{A}$$

(Actually) max. stress. Total stress = $f_B + f_C$

長門 12,426 lbs/in² 大# 13,078 lbs/in² 壓 39,000 lbs/in² --- Nickel steel

天城 11,523 lbs/in² 壓 12,189

董以外 P.B. (磷青銅)

八八、軸ノ旋轉、(unloaded shaft, 場合) Rotating Shafts

角速度大ナル回轉軸ニ於テハ僅少ナル不釣合ノ力モ之ニ對シテ大ナル偏倚ヲ生セシム、然レバ此ノ場合未タ材料ノ彈性限界ヲ超過セサル
Deflection
キハ、其ノ回轉ヲ減スルカ又ハ之ヲ止ムレハ直チニ常態ニ復歸ス、

今回轉軸ノ狀態ニ就テ見ルニ、軸系ノ直線ナラサルコト、軸ノ振動スルコト及ビ其他ノ原因ニヨリ、軸系ノ中心線及ビ重量ノ中心線ノ合致ヲ缺キ、之カ爲メ不釣合ナル重量ニ歸因スル遠心力ニ由リ、軸ノ屈撓作用ヲ起シ、回轉速度ノ增加ト共ニ軸ノ偏倚ハ益々大トナル、

軸ノ角速度ヲ漸次增加シテ一定速度以上ニ達セシムルトキハ軸ノ偏倚ハ異常ニ大トナリ遂ニ破壊セシムルニ至ル、此ノ速度ヲ臨界速度
Critical speed whirling speed
ト種ス、而シテ此ノ速度ハ回轉ノ增加ニ伴ヒ反覆スルモノナリ、

回轉軸ノ偏倚ヲ生セシムヘキ力ハ、回轉速度ノ自乗ト重量ノ偏倚トニ比例スルモノナリ、

今 w =軸ノ單位長ニ對スル重量

d =軸ノ直徑



$I = \frac{\pi}{64} d^4$

F =ヤング率

ω =角速度

x =回轉軸ノ中點ヨリノ水平距離

y =回轉ノ中心線ト回轉重量ノ中心線トノ距離、即チ軸ノ偏倚
Geometrical axis of rotation. Mass axis

y_0 =軸系ノ中心線ト重量ノ中心線トノ距離
Axis of shaft. Mass axis

トスレハ軸ノ單位長ニ對スル遠心力ハ

$$\text{Centrifugal force} = \frac{w}{g} \omega^2 y.$$

shearing force

$$\frac{dF}{dx} = w = \frac{dM}{dx}$$

$$\frac{d^2M}{dx^2} = \frac{w}{g} \omega^2 y = \frac{w}{g} (2\pi n)^2 y;$$

$$\frac{d^2y}{dx^2} = \frac{M}{EI}$$

$$\frac{d^4y}{dx^4} = \frac{1}{EI} \frac{d^2M}{dx^2}$$

$$\frac{d^4M}{dx^4} = \frac{\omega}{f} \omega^2 y$$

$$\frac{d^4y}{dx^4} = \frac{w\omega^2}{gEI} y \quad m^4 = \frac{w\omega^2}{gEI} \quad (1)$$

$$\frac{d^4y}{dx^4} - m^4 y = 0 \quad (2)$$

$$m = \sqrt[4]{\frac{w\omega}{gEI}} = \sqrt[4]{\frac{w(2\pi n)^2}{gEI}} \quad (3)$$

之ニ由リテ軸ノ偏倚 y ヲ求ムルコトヲ得可シ、即チ

$$y = Ae^{mx} + Be^{-mx} + F \cos mx + F \sin mx \quad (4)$$

(i) 回轉軸カ両端ニ於テ支持セラレタル場合、(第85圖及ビ第86圖)

此ノ場合軸ノ両端ニ於テハ、

$$\begin{cases} x=l & \text{or} \\ y=y_0 \end{cases} \quad (5)$$

$$y_0 = Ae^{ml} + Be^{-ml} + E \cos ml + F \sin ml \quad (6)$$

両端ノ支點ニ於テハ屈撓能率ハ零ナリ、 $M=0$ $\frac{dy}{dx}=0$ ($\frac{d^2y}{dx^2}=\frac{M}{EI}$ 也式24.)

$$0 = Ae^{ml} + Be^{-ml} - E \cos ml - F \sin ml \quad (7)$$

$$0 = Ae^{-ml} + Be^m - E \cos ml + F \sin ml \quad (8)$$

(5)式+(7)式ニヨリ

$$y_0 = 2Ae^{ml} + 2Be^{-ml} \quad (9)$$

(6)式+(8)式ニヨリ

$$y_0 = 2Ae^{-ml} + 2Be^{ml} \quad (10)$$

$$(9)=(10) \therefore (10) \text{より} A = \frac{y_0}{2(e^{ml} + e^{-ml})} = B \quad (11)$$

回轉軸カ「第85圖(a)及ビ(b)」ノ如クナルトキ

$$Ae^{ml} + Be^{-ml} = Ae^{ml} + Be^{ml} = 0 \quad \text{ナル點ニ於テハ}$$

$$e^{ml}(A-B) = e^{-ml}(A-B) \quad A=B \text{ 且ハ本式ニ成立ス。}$$

$$D = \frac{d}{dx} \quad \text{operator}$$

$$(2) \text{ 21} \quad (D^2 - m^2)(D^2 + m^2)y = 0$$

$$(D-m)(D+m)(D^2 + m^2)y = 0 \quad (2)'$$

$$(D-m)y = 0 \quad \text{又トヰキテ}$$

$$\frac{dy}{dx} - my = 0$$

$$\frac{1}{y} \frac{dy}{dx} - m = 0$$

$$\log y - mx = A$$

$$\log y = A + mx$$

$$y = e^{A+mx} = e^{A} \cdot e^{mx} = A \cdot e^{mx} \quad (a)$$

$$(D+m)y = 0 \quad \text{又トヰキテ} \quad y = B \cdot e^{-mx} \quad (b)$$

$$(D^2 + m^2)y = 0 \quad \text{又トヰキテ} \quad y = E \cos mx + F \sin mx \quad (c)$$

次に(2)'解ⁿ (a)+(b)+(c) + i.

$$y = A \cdot e^{mx} + B \cdot e^{-mx} + E \cos mx + F \sin mx \quad (4)$$

也式ⁿ differentiat^e 27

$$\frac{dy}{dx} = Ame^{mx} - Bm e^{-mx} - Em \sin mx + Fm \cos mx \quad (d)$$

$$\frac{d^2y}{dx^2} = Am^2 e^{mx} + Bm^2 e^{-mx} - Em^2 \cos mx - Fm^2 \sin mx \quad (e)$$

$$\frac{dy}{dx} = 0.$$

$$\therefore 0 = A - B + F.$$

$$\therefore 0 = F.$$

之ニ由テ

$$E \cos ml = \frac{1}{2} y_0.$$

$$y = \frac{1}{2} y_0 \left(\frac{\cosh mx}{\cosh ml} + \frac{\cos mx}{\cos ml} \right) \quad \dots \dots \dots (12)$$

回轉軸系ノ中央ニ於テハ $x=0$; $\cosh mx = \cosh 0 = 1$.
 $\cos mx = \cos 0 = 1$

$$y = \frac{1}{2} y_0 \left(\frac{1}{\cosh ml} + \frac{1}{\cos ml} \right) \quad \dots \dots \dots (13)$$

之ニ由テ軸系ノ中心線ト重量ノ中心線トカ合致セサルトキハ、必ラ
ス偏倚ヲ生スルモノナルヲ知ル、 $\cosh ml > 1$, $\therefore \cosh ml < 1$

前式ニ由リ

$$\cos ml = 0; \quad \text{即ち } \cosh ml = \infty \quad \text{deflection は無限大} \quad \text{機械が破壊スルオリレアリ}$$

即チ

$$ml = \frac{\pi}{2}; \frac{3\pi}{2}; \frac{5\pi}{2}; \frac{7\pi}{2}; \dots \dots \dots (14)$$

ナルトキハ偏倚ハ非常ニ大ナルモノトナル。

軸系ノ中心線ト重量ノ中心線トカ合致スルトキハ、
即 $y_0 = 0$, (11) 由 $A = 0 = B$, (4) 式 $A = B = F = 0$ ニ代入スル。

$$y = E \cos mx = \frac{y_0}{2 \cos ml} \cos mx \quad \dots \dots \dots (15)$$

今 p ヲ正ノ奇數トスレハ、
 $\cosh ml \neq 0$ 且 $y_0 = 0 \therefore y = 0$
 $\cosh ml = 0$ 且 $y = \text{不定}$

$$\frac{1}{p} l^4 \sqrt{\frac{(2\pi n)^2 w}{gEI}} = \frac{\pi}{2}$$

$$n = \frac{\pi p^2}{2(2l)^2} \sqrt{\frac{gEI}{w}} \quad \dots \dots \dots (16)$$

回轉軸ガ「第 86 圖 (a) 及ビ (b)」ノ如クナルトキ、

$$x = l \text{ or } -l; \quad \text{ナル點ニ於テハ } y = 0$$

$$\therefore \sin ml = 0.$$

85 図 (a) (b) = 斜方。

$$x = 0 \quad \text{or} \quad \frac{l}{2}; \quad \frac{dy}{dx} = 0.$$

$$0 = A m - B m - 0 + F m$$

$$0 = A - B + F$$

$$\therefore F = 0.$$

$$(5) \text{ 式} = A = B, \quad F = 0 \quad \text{ニ代入。}$$

$$y_0 = A e^{ml} + A e^{-ml} + E \cos ml + o \quad \dots \dots \dots (A)$$

$$(7) \text{ 式} \text{ ニ同様} = \dots \dots \dots$$

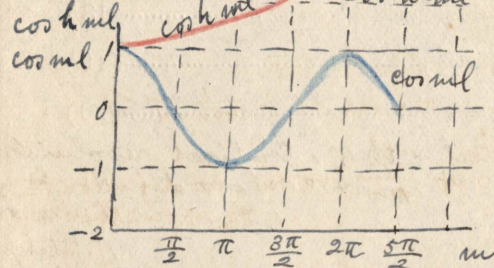
$$0 = A e^{ml} + A e^{-ml} - E \cos ml - o \quad \dots \dots \dots (B)$$

$$(A) - (B) \quad y_0 = 2E \cos ml$$

$$\therefore E = \frac{1}{2 \cos ml} y_0$$

A, B, E, F ニ (4) = 代入。

$$\begin{aligned} y &= \frac{y_0}{2(\cosh ml + \cosh ml)} e^{mx} + \frac{y_0}{2(\cosh ml + \cosh ml)} e^{-mx} + \frac{1}{2} y_0 \frac{1}{\cosh ml} \cos mx \\ &= \frac{y_0}{2} \left(\frac{e^{mx} + e^{-mx}}{\cosh ml + \cosh ml} + \frac{\cos mx}{\cosh ml} \right) \\ &= \frac{y_0}{2} \left(\frac{\cosh mx}{\cosh ml + \cosh ml} + \frac{\cos mx}{\cosh ml} \right) \end{aligned}$$



hyperbolic function

$$\sinh x = \frac{e^x - e^{-x}}{2} = x + \frac{x^3}{3!} + \frac{x^5}{5!} + \dots$$

$$\cosh x = \frac{e^x + e^{-x}}{2} = 1 + \frac{x^2}{2!} + \frac{x^4}{4!} + \dots$$

$$(14) \text{ ニ } ml = p \times \frac{\pi}{2} \quad m = \frac{p}{l} \times \frac{\pi}{2} \quad \therefore (3) = \text{代入}$$

$$\frac{1}{p} l^4 \sqrt{\frac{(2\pi n)^2 w}{gEI}} = \frac{\pi}{2} \quad \therefore \frac{l^2}{p^2} \sqrt{\frac{(2\pi n)^2 w}{gEI}} = \frac{\pi^2}{4}$$

$$\frac{l^2}{p^2} 2\pi n \sqrt{\frac{w}{gEI}} = \frac{\pi^2}{4}$$

Critical revolution

$$n = \frac{\pi p^2}{2(2l)^2} \sqrt{\frac{gEI}{w}}$$

w : weight/unit length

$$I = \frac{\pi}{64} d^4$$

$$E = 30 \times 10^6 \text{ lb/in}^2$$

n : r.p. s.

l : $\frac{l}{2} \times \text{length of shaft}$

g : $32 \times 12''/\text{sec}^2$

$$\therefore ml = \frac{2\pi}{2}; 4\frac{\pi}{2}; 6\frac{\pi}{2}; 8\frac{\pi}{2}; \dots \dots$$

(ii) 回轉軸ノ両端カ軸承ニヨリテ安定セラレタル場合、(第87圖及
及第88圖)

軸ノ両端ニ於テハ

$$y=y_0 \quad x=l \quad \text{or} \quad -l.$$

$$\frac{dy}{dx} = 0.$$

$$0 = Ae^{ml} - Be^{-ml} - E \sin ml + F \cos ml \quad (17)$$

$$0 = Ae^{-ml} - Be^{+ml} + E \sin ml + F \cos ml \quad (18)$$

$$F(\sinh ml - \sin ml) = 0 \quad (19)$$

$$F(\cosh ml - \cos ml) = 0 \quad (20)$$

$$F=0; \quad \text{Steel, } \text{均勾, Critical revolution}$$

$$A=B. \quad N = \frac{41800,000d}{L^2} \quad N: \text{r.p.m.} \\ d: \text{dia. of shaft} \\ L: \text{total length of shaft}$$

之ニ由テ

$$y_0 = A(e^{ml} + e^{-ml}) + E \cos ml;$$

$$0 = A(e^{ml} - e^{-ml}) - E \sin ml;$$

$$A = \frac{\frac{1}{2}y_0 \sin ml}{\cosh ml \sin ml + \cos ml \sinh ml} = B, \quad (21)$$

$$E = \frac{y_0 \sinh ml}{\cosh ml \sin ml + \cos ml \sinh ml} \quad (22)$$

$$\therefore y = y_0 \frac{\cosh mx \sin ml + \cos mx \sinh ml}{\cosh ml \sin ml + \cos ml \sinh ml} \quad (23)$$

[例題四八] 短カキ軸承ニヨリテ両端支持セラレタル直徑 1 小時 長サ
5呎ノ鋼製軸アリ (両端ノ方向ハ安定ナラサルモノトス) 臨界
速度ヲ求ム、

$$P=1. \quad u = \frac{\pi}{2 \times 60} \sqrt{\frac{32 \times 12 \times 30 \times 10^6 \times \frac{\pi}{64}}{0.28 \times \frac{\pi}{4} \times l^2}} \quad [1333 \text{ rev./min.}]$$

$$= \frac{\pi}{2 \times 60} \times 50.6 \times 10^3 \times 60 \quad \text{r.p.m.}$$

$$= 1330 \text{ r.p.m.}$$

Whirling speed of shaft (Unloaded steel shaft.)

$$N = R.P.M.$$

$$\left\{ \begin{array}{l} d_1 \text{ & } d_2 = \text{external & internal dia. of shaft in inches.} \\ l = \text{length of shaft in ft.} \\ E = 29 \times 10^6 \text{ lb/in.} \\ I = \frac{\pi}{64} (d_1^4 - d_2^4) \end{array} \right.$$

1. Shaft simply supported at ends (中間軸=適用)

$$N = 33,000 \frac{\sqrt{d_1^2 + d_2^2}}{l^2} \quad * \quad \text{hollow shaft (in air)}$$

$$N = 34,300 \frac{\sqrt{d_1^2 + d_2^2}}{l^2} \quad * \quad " \quad " \quad (in water)$$

$$[N = 33,000 \frac{d}{l^2} \quad * \quad \text{solid shaft (in air)}] \quad (\text{適用})$$

2. Shaft one end supported & other surely supported (propeller shaft)

$$N = 51,000 \frac{\sqrt{d_1^2 + d_2^2}}{l^2} \quad * \quad \text{(in air)} \quad \left\{ \begin{array}{l} \text{propeller shaft, } N_c/13 \\ \text{長さ } 545 \quad (230) \\ \text{金剛 } 517 \quad (290) \\ \text{丸棒 } 327 \quad (380) \\ \text{半D } 682 \quad (400) \end{array} \right.$$

3. Shaft surely supported at both end

$$N = 75,000 \frac{\sqrt{d_1^2 + d_2^2}}{l^2} \quad * \quad \text{(in air)}$$

$$N = 78,000 \frac{\sqrt{d_1^2 + d_2^2}}{l^2} \quad * \quad \text{(in water)}$$

Turbine shaft - graphically = bending, ~~I~~ $\frac{I}{24T^4}$, load, first case (both ends fully supported)

$$\text{case: 1} \quad \begin{array}{c} \text{---} \\ | \\ \text{---} \end{array} \quad l = 34 \frac{1}{2} \quad \begin{array}{c} \text{---} \\ | \\ \text{---} \end{array}$$

$$d_1 = 12" \quad d_2 = 7 \frac{1}{2}" \quad (N = 320 \text{ 計画})$$

$$N = 33,000 \sqrt{\frac{12^2 + 7.5^2}{(34 \times 12)^2}} = 33,000 \times \frac{\sqrt{199.25}}{408^2}$$

$$= 0.1982 \times 14.12 = 1142$$

$$N = 51,000 \times \frac{14.12}{31.87 \times 12} = 51,000 \times 0.0346 = 1764$$

$$N = 75,000 \times 0.0346$$

Thrust, put to 1

$$\sqrt{\frac{w w^2}{gEI} + \frac{P^2}{4EI^2} + \frac{P}{2EI}} = \frac{\pi^2}{l^2}$$

$$\text{or } \frac{w w^2}{gEI} = \left(\frac{\pi^2}{l^2} - \frac{P}{2EI} \right)^2 - \frac{P^2}{4EI^2}$$

$$\therefore w = \sqrt{\frac{gEI}{w} \left(\frac{\pi^2}{l^2} - \frac{P}{2EI} \right)^2 - \frac{P^2}{4EI^2}}$$

$$= \sqrt{\frac{gEI}{w} \left(\frac{\pi^2}{l^4} - \frac{\pi^2 P}{l^2 EI} \right)}$$

$$= \sqrt{\frac{32.2 \times 12 \times 30 \times 10^6 \times \frac{\pi}{64}}{128 \times \frac{\pi}{4} (12^2 - 7.5^2)} \left(\frac{\pi^4}{(34 \times 12)^4} - \frac{\pi^2 \times 28 \times 2240}{(34 \times 12)^2 \times 30 \times 10^6 \times \frac{\pi}{64}} \right)}$$

$$= 418 \text{ radian/sec}$$

$$= 399 \text{ r.p.m.}$$

(Radian per sec)

第十二章

材料試験——機械装置及び方法

Testing of Materials, Testing Machine, Apparatus and Methods.

八九、總論材料試験規程、

以上十一章ノ解説ニヨリ、構造物ノ各部ニ於ケル内力ノ分布並ニ其ノ多寡ニ關スル理論ノ概要ヲ會得セルヲ以テ、本章ニ於テハ進シヲ其ノ構成材料ノ強サ及ヒ剛サ等ヲ實驗的ニ見出スノ法ヲ研究シ、各部寸法算定ノ標準ヲ定メントス、

元來普通ノ構成材料ハ人爲的ノモノナルヲ以テ、假令同一狀態ノ下ニ同一成分ヲ以テ製出セラレタルモノト雖モ、常ニ同一ノ機械的性狀ヲ有スルモノト期待スルコト能ハズ、故ニ構造物若クハ機械ヲ構成スルニ當リテハ、供給材料其ノ物ノ一部ヨリ適宜ノ試験片ヲ截取シ、其ノ強サヲ查定スルノ必要アルモノトス是レ各國政府ハ勿論私立ノ製造會社ニアリテモ其ノ使用材料ニ對スル試験規格ヲ規定シアル所以ナリ我帝國海軍ニ於ケル現行規格ハ明治三十六年六月十九日達第六十五號ノ發布ニ係リ其ノ後屢々之ニ改正ヲ加ヘタルモノナリ、

(海軍造船材料試験規格ハ海軍諸列則ニアリ)

九〇、試験機械ノ種類及ビ構造總說、

試験法ノ最モ簡單ナルハ引張試験ニシテ、如何ナル材料ニモ適用シ得、而シテ普通材料試験作業ノ大部ハ引張試験ナルヲ以テ試験機械ハ

一般ニ引張試験ヲナスヲ主トシ、他種ノモノニ對シテハ一部ノ裝置ヲ
變更シ之ニ應スル様構成セラルルヲ常トス、

引張試験機械ノ原理ハ何レノ種類ニ於テモ同様ニシテ、試験片ノ両
端ヲ^{Grip} 摑子ニ嵌入シ其ノ一端ヲ荷重計裝置ノ一部ニ、他端ヲ加重頭ニ取
付ケ、規則的加重ヲ行フト同時ニ其ノ量ヲ計測スルニ適セシム、

荷重ノ量ヲ計測スルニハ 挺衡器 ^{用フルヲ常トス、此ノ方法ニ}
^{Lever weighing apparatus}
ヨリ 可動分銅 ^{定長若クハ可變長ノ大挺率ニ加フルトキハ、少量}
^{Movable weight}
ノ分銅ヲ以テ大荷重ヲ計測スルコトヲ得可シ試験機械ノ種類ハ主トシ
テ、此ノ計測裝置ニヨリ區別セラルルモノニシテ、之ヲ大別スレハ次
ノ三種トナル、

(I) 單挺式機械、(第 89 圖) --- *Buckton testing machine*

(II) 複挺式機械、(第 90 圖)
Compound lever machine

(III) 水壓式機械、(第 91 圖)
Manometer machine

第 89 圖 第 90 圖及ビ第 91 圖ハ此ノ三種ノ機械ノ構造原理ヲ表ハス
モノニシテ、S ハ試験片 W ハ釣合重量ヲ示ス、

試験機械ノ具備スヘキ要件ハ、概ネ次ノ如シ、

- (1) 構造簡單ナルコト、
- (2) 試験片ニ接近シ易ク監視ニ便ナルコト、
- (3) 取扱便利ナルコト、
- (4) 各種ノ試験ニ應用便利ナルコト、
- (5) 敏度優良ナルコト、
Sensitivity
- (6) 精度優良ナルコト、

前記三種ノ機械ヲ比較スルニ、各利害得失アリテ一既ニ優劣ヲ定ム
ルコト難シ、之ヲ要スルニ一機械ヲシテ前掲ノ要件ヲ兼備セシムルハ
到底不可能ノコトナルヲ以テ、機械ノ撰定ニ當リテハ其ノ型式ニ就キ

Buckton's testing machine = 沖ノ水压代りニ motor &
(Olsen, Amster "井式") lever 裝置ヲ有ス。

云々センヨリハ、寧ロ其ノ狀態ヲ精査スルヲ可トス若シ夫レ各圭子ノ材質及ヒ製作優良ニシテ圭子間ノ距離並ニ分銅ノ重サ正確ナランカ、
何レノ型式ヲ採用スルモ實用上其ノ精度及ヒ感度等ニ於テ毫モ不足ナキモノニシテ、就中バクトン式ノ如キハ一般ノ所用ニ對シ最モ信賴スルニ足ル。

九一、バクトン式材料試験機械、

Buckton

本校裝備ノバクトン式材料試験機械ハ單挺式ニ屬スルモノニシテ、其ノ構造ノ詳細ハ實物ニツキ之ヲ説明スヘキヲ以テ茲ニハ單ニ其ノ概要ヲ摘示ス、(第92圖)

圖ニ於テ B ハ衡梁ニシテ A ナル支持臺上ニ C 若クハ D ナル圭子ニヨリテ支ヘラレ、其ノ平衡位置ハ水平ナリ、E ハ又圭子ニシテ I K ナル試験片擗坐ヲ懸垂ス、

試験片 S ハ其ノ上下端ヲ楔形ノ擗子ニテ把握シ、J 及ビ K ナル擗坐中ニ嵌合シ、之ヲ固定シタル後始メテ動力ヲ加フルモノニシテ、動力加ハルトキハ、K ハ下方ニ牽引セラル、從ツテ衡梁 B ノ左端ハ下方ニ引キ付ケラルルヲ以テ平衡ヲ保タンカ爲メニハ釣合重量 W ヲ左右ニ移動セシメサルヘカラス、之ヲ行フニハ機械ノ前面ニアル M ナル輪柄ヲ轉ズルトキハ、齒車裝置ニヨリテ衡梁ノ中央上部全長ニ亘レル長螺鋸 P ヲ回轉シム、P ハ釣合重量 W ニ嵌合スルヲ以テ、重量ハ其ノ下部ニアル四個ノ轉子ニヨリ容易ニ梁上ヲ右方ニ運動セシムルヲ得ルナリ、

此ノ機械ニ於テ試験片ニ重量ヲ加ヘサルキハ、釣合重量 W ハ衡梁ノ左端ニアリテ支點圭子ノ右側ト平衡ヲ保ツ如ク構造セラル、

バクトン式機械ハ機械力量ノ多少ニヨリテ圭子間ノ距離及ヒ釣合重量相異ルモノニシテ、其ノ一例ヲ舉クレハ次ノ如シ、

機械力量(噸) 釣合重量(噸) 両圭子間ノ距離(吋)

30	$\frac{1}{2}$	2
50	1	3
100	2	4

本校備附ノモノハ 30 噸機械ニシテ圭子 E. C, 間ハ 2 時ナリトス
又圭子 D ヲ使用スルトキハ E, D, 間ハ 6 時トナリ機械ノ最高力量
ハ 10 噌ニ變シ、小形試験片ニ對シ一層正確ナル計測ヲ行フコトヲ得
ルノ構造ヲ有ス、而シテ前記ノ如ク釣合重量ハ一定ニシテ試験片ノ受
クル荷重ハ全然釣合重量ト支點トノ距離ニ比例スルモノナルヲ以テ、
力量 30 噌ニ支點ヲ定ムル時ハ、荷重 1 噌ニ對スル釣合重量ノ滑動
距離ハ 4 吋ニシテ、力量 10 噌ニ調整シアルトキハ其ノ距離ハ 12 吋
ナリ、而シテ釣合ハ重量ニ下方ニ副尺 V Vernier ヲ附シ且ツ梁ノ前面側ニハ
前記ノ目盛リヲ更ニ細分シタル秤尺ヲ附シアルヲ以テ試験進行中隨時
荷重ノ量ヲ確知スルコトヲ得可シ、

副尺ハ便宜其ノ位置ヲ變シ得ル様裝置シアルヲ以テ諸種試験ニ對シ
特別ノ附属物ヲ取捨スルニ當リ、秤尺ノ零位ヲ其ノ平衡位置ニ調整ス
ルコトヲ得、

梁ノ平衡位置ヲ指示セメンカ爲メ、機械支柱ノ右側上方ニ梁ト連絡
セル指針裝置 Q ヲ有ス、尙ホ梁ノ自由端(右端)ニハ柱アリテ、二個
ノ制子 R Stop ヲ備ヘ梁端過度ノ昇降ヲ制止ス、故ニ試験中ハ其ノ指針Q
ヲ常ニ中立位置ニ置キ梁端ヲシテ制子ニ接觸セシメサル様注意ヲ要ス
試験片下端ノ擗坐 K ハ螺鋸 L ニ結合シ、其ノ下動ニ依リ試験片
ニ荷重ヲ增加スルモノトス、該螺鋸ハ齒車及ヒ滑車裝置(第 92 圖ニ
ハ此ノ所ノ連絡ヲ略ス)ニヨリ電動機ニ連絡スルヲ以テ、今電動管制器 N ノ把手ヲ動カストキハ、電動機 H ハ發動シテ動力ヲ傳達シ容
易ニ試験片ニ荷重ヲ増加スルコトヲ得可シ、

此ノ機械ニ於テハ、Kノ下動ニヨリテ試験片ニ荷重ヲ漸次増加スルノ裝置ナルヲ以テ、試験片ノ壓縮試験ヲ行ハントスルトキハ試験片SハKトJトノ間ニ嵌合スヘキナリ、

彎撓試験及ヒ剪斷試験モ亦特種ノ器具ヲJ, K間ニ取り付ケ施行スルコトヲ得可シ、

捩試験ハ機械ノ後方上部ニ特種ノ裝置ヲ附シ實施スルコトヲ得、
Buckling ひびい試験モ用ヒル *Universal Testing Machine*

九二、測延装置 (Extensometer)

普通ノ金属試験片ニアリテハ彈性歪ハ $\frac{1}{1000}$ ナリ、故ニ、八時試験片ニ對スル彈性延伸ハ僅カニ $\frac{1}{100}$ 時内外ニ過ギズ、斯ノ如キ微細ナル變形ヲ直接肉眼ニテ計測スルハ殆ント不可能ナリ、依テ適當ノ裝置ヲ用キテ其ノ變形ヲ廓大シ、肉眼ヲ以テ容易ニ觀察シ得ルノ法ヲ講ス、此ノ裝置ヲ稱シテ測延計ト云フ、

次ノ使用スル簡單ナル測延計ノ二三ツキ其ノ構造ヲ示ス、

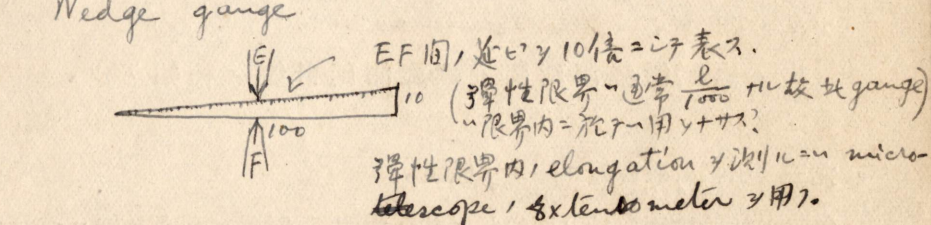
楔形測延計—(第93圖) Wedge Gauge

A Bハ試験片、C及ビDハ両標點ノ位置ヲ示スモノニシテ此等二點ニ方形端ヲ有スル抱子E及尖端ヲ有スル抱子Fヲ固定シ、両抱子間ニ $\frac{1}{10}$ ノ傾斜ヲ有スル楔形秤尺ヲ挿入ス、

試験片ノ延伸ニ伴ヒ両抱子端ノ距離相離ルルヲ以テ漸次秤尺ヲ左方に動カシ、其ノ上線ニ刻ミアル目盛(1時ヲ五十等分若クハ百分シアリニヨリ)微量ノ延ビヲ計測スルコトヲ得、即チ秤尺ノ傾斜ハ $\frac{1}{10}$ ナルヲ以テGカE上左方ニ $\frac{1}{10}$ 時移動セリトセハ、其ノ延ビハ時ニシテ、 $\frac{1}{100}$ 時移動セリトセハ、延ビ $\frac{1}{1000}$ ハ時ナリ、

挺式廓大裝置—(第94圖) Lever multiplying apparatus

此ノ種ノ裝置ニアリテハ、單挺作用ヲ用ヒ、試験片ノ延伸ヲ廓大シ



EF間、近ヒヤ10倍ニシテ表ス。
10 (彈性限界、通常 $\frac{l}{1000}$ 时故 wedge gauge)
「限界内ニ於テ用ヒサス」
彈性限界内 elongation や測りル mico
telescope, extensometer 用。

計測ニ便ナラシム、其ノ型式種々アレトモ茲ニハケネディー博士ノ創案ニ係ルモノノ構造ノ概要ヲ示ス、

A B ハ試験片、C C ハ互ニ直角ヲナセル固定枠組ニシテ、其ノ外端ニ S ナル標尺ヲ附シ、縦腕ノ下端ハ護謨帶 D ヲ以テ下部ノ刻心 G ニ保持セラル、

P ハ計測用ノ挺ニシテ其ノ支點ハ縦腕ノ上端 E ノ部ニアリ右端ハ指針トナリテ標尺面ニ上下シ左端ハ護謨帶 D ヲ以テ上部ノ刻心 F ニ保持セラル、

試験片ニ延伸ヲ來ストキハ F, G 両點ノ間隔ヲ增加スルヲ以テ指針ハ標尺面ヲ下方ニ動ク、E F ノ距離ハ $\frac{1}{4}$ 時ニシテ長腕ノ長サハ 25 時ナルヲ以テ實際ノ延伸ハ百倍トナリテ S 面ニ表ハレ微量ノ計測ヲ行フニ適ス、

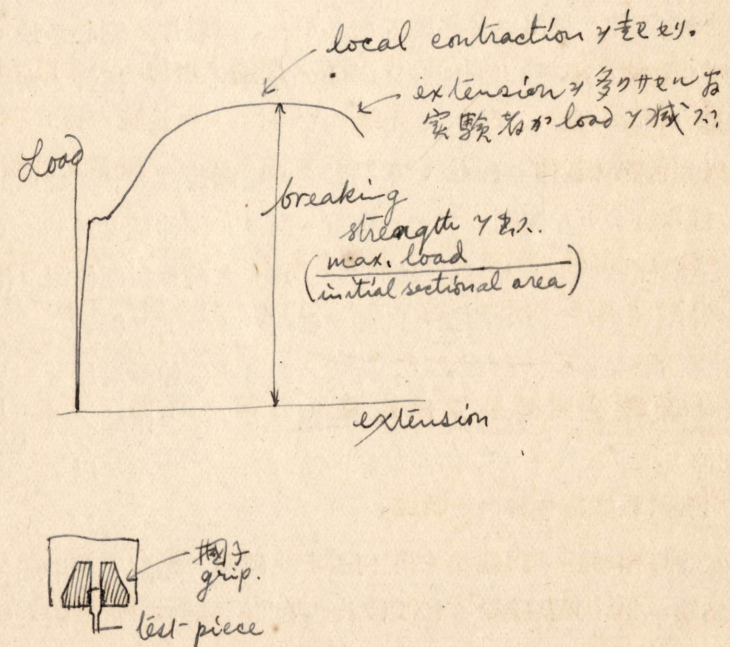
本器ノ缺点ハ取付ケ困難ニシテ熟練ヲ要スルニ在リ、又單ニ試験片ノ一面ニ於ケル延ヒヲ示スニ過ギサルヲ以テ、時ニ誤差ヲ來タスコトナキニアテズ、
Load-extension curve ト記入 self-recorder もアリ。

其ノ他顯微鏡測延装置螺旋測延計等ノ種類アリ、
Ewing micrometer microscope extensometer, Screw extensometer.

九三 引張試験実施ニ關スル概説、

Tension Test *引張力試験*

- (一) 試験片標準長ノ両端並ニ其ノ中間 1 時毎ニ刻心ヲ施スヘシ、
- (二) 試験ニ先タチ試験片ノ直徑若クハ厚サ、幅等正確ニ記録シ置クヘシ、
- (三) 試験片ヲ擗子ニ緊定スルニ先タチ機械ヲ平衡状態ニ置キ、副尺ノ零位ト秤尺ノ零位トヲ一致セシメ置クヘシ、
- (四) 直立機械ニアリテ試験片ヲ取付クルニハ上端ヲ先キニシテ下端ヲ後ニスルヲヨシトス、又楔形擗子ヲ用フルニ先タチ擗子及ビ擗子承ノ部ニ塵埃ナキヲ確認シ置クヘシ、



- (五) 上方ノ擗子ヲ定位置ニ置キ、之ニ試験片ヲ挿定シタルトキハ、
擗子ノ両半カ同一面上ニ在ルヤ試験片ハ楔子ノ全長ヲ通シ擗握セ
ラルルヤ等ヲ確認シ置クヘシ、
- (六) 試験片ノ下端ヲ機械ニ取付ケンニハ、手動調整裝置ヲ用キテ下
部ノ聯鋸ヲ適當ノ位置ニ揚ケ、両手ヲ以テ楔子ヲ下部擗子承ノ下
方ヨリ挿入シ約 $\frac{1}{10}$ 噁ノ荷重ヲ听ヘ、擗握完全ナルヤヲ確メ置
クヘシ、
- (七) 彈性延伸ヲ見出スノ必要アルトキハ、試験片ノ刻心ヲ最モ見易
キ位置ニ置キ、且ツ測延計ノ取付ケ方向並ニ其ノ指針ノ初位置ニ
注意シ置クヘシ、
- (八) 如上ノ準備ヲ完成セハ、手動若クハ電動裝置ニヨリ規則的加重
ヲ行ヒ適當ナル間隔ニ於テ、荷重ニ對スル延伸量ヲ計測シツツ試
験ヲ進行スルモノトス、自働裝置ヲ用キテ荷重對延伸圖ヲ作成ス
ル場合ニアリテハ、前記ノ計測ヲ省略スルコトヲ得、
- (九) 彈性限界ニ達スルトキハ、荷重ニ對スル延伸量增加スルヲ以テ
此ノ點ニ注意スヘシ、普通ノ鋼鐵類ニアリテハ原長ノ約 $\frac{1}{1000}$ ノ
延伸ヲ來タセルトキ、彈性限界ニ達スルモノナルヲ以テ其ノ點ヲ
豫知スルコトヲ得可シ、
- (一〇) 彈性限界ニ達シタル後幾何モナク延伸ノ急激ナル増進ヲ來タ
シ、所謂降伏點ニ達スルヲ以テ、測延計ヲ用フルコト能ハサルニ
至ル、故ニ之ヲ取多シ爾後両脚器ヲ用ヒテ延伸ヲ計測スルモノト
ス、
- (一一) 降伏點ヲ通過シタル後、試験片ハ多少可型的トナリ、延伸急
激ナルト同時ニ全長ヲ通シ其ノ側方寸法ヲ減少スルタス、
- (一二) 最大荷重ニ達スルキハ、試験片ハ局部的狹窄ヲ來タシ其ノ切
斷面ヲ減スルヲ以テ、此ノ荷重ニ耐ヘサルニ至リ、破壊點ニ於テ

ハ却テ之ヲ減少スルノ必要アルモノトス、

(一三) 試験片切斷セハ、取付ノ場合ト反對ノ順序ニヨリ之ヲ取外シ
機械ヲ平衡位置ニ復シ、次ノ試験ニ對スル準備ヲナスヘシ、

(一四) 試験ノ前後及ビ其ノ進行中ニ記錄スヘキ項目ニ關シテハ特ニ
慎重ナル考慮ヲ要スルモノニシテ、之カ記註ニ遺漏ナキ様注意セ
サレハ、往々全試験ヲ無効ニ歸セシムルコトアリ、

(一五) 前記ノ要項ハ、試験ノ目的ニ應シ多少ノ差異アルモ、次ノ諸
項目ノ如キハ、普通科學的試験ニ於テ欲クヘカラサルモノトス、

- (1) 試験施行年月日、
- (2) 材料ノ性質、
- (3) 試験片ノ番號若クハ記號、
- (4) 試験片ノ原寸法、
- (5) 自働裝置ヲ用ヒテ荷重對延伸圖ヲ畫カサル場合ニハ、試
験中適當ノ間隔ヲ以テ荷重ニ對スル延伸ノ量ヲ記錄スル
ヲ要ス、
- (6) 彈性限界ニ於ケル荷重及ビ延伸、
- (7) 降伏点ニ於ケル荷重、
- (8) 最大荷重及ビ全延伸量、
- (9) 破壊斷面ノ寸法、

(一六) 前號ノ項目ヲ基礎トシ、試験後計算記錄スヘキ要項、次ノ如
シ、

- (1) 荷重對延伸圖
- (2) 彈性限界、降伏点並ニ原切斷面ニ對スル破壊強、
- (3) 延ビノ百分比並ニ原切斷面狹窄百分比、
- (4) ヤング彈性率、
- (5) 破壊面ノ位置狀態並ニ關スル、

(一七) 普通工業用ノ試験ニ在リテハ、前二號ニ記載セルカ如キ微細
ナル計測及ビ成績ヲ要スルモノニアラス、概略次ノ如キ要目ヲ知
ルヲ目的トシ、記録ノ項目ヲ豫定スルヲ以テ足レリトス、

- (1) 彈性限界並ニ破壊強、
- (2) 延ビノ百分比並ニ切斷面狹窄百分比、

九四、壓縮試験實施ニ關スル概說、 Compression Test

(一) 普通ノ壓縮試験ニ用フル金属試験片ニアリテハ、其ノ長サハ直
徑ノ二倍乃至三倍ナルヲ常トス、試験片長キニ過クルトキハ、屈
撓作用ヲ起スヲ以テ眞ノ壓潰強ヲ検定スルコト能ハス、

(二) 試験片ノ両端面ハ、全ク平坦ニシテ其ノ軸線ニ直角ナラサルヘ
カラス、

(三) 加壓臺ハ平滑ニシテ、其ノ面ハ加重ノ方向ニ直角ナラサルヘカ
ラス、

(四) 試験片ハ真直ナラサルヘカラス、此ノ點ニ關シテハ、引張試験
ニ於ケルヨリモ、壓縮試験ニ對シ一層ノ注意ヲ要ス、

(五) 本校備附ノバクトン機械ヲ用ヒ壓縮試験ヲナサンニハ圭子ニ懸
吊サレタル平盤上並ニ加重頭ノ下側ニ加壓臺ヲ取付ケ、兩臺間ノ
試験片ヲ置キ引張試験ノ場合ニ於ケルト同法ニヨリ、加重並ニ計
測等ヲ行フモノトス、

(六) 金屬試験片ハ普通其ノ長サ短キヲ以テ彈性歪ヲ計測スルコト難
シ、若シ特別ニ之ヲ計測スルノ必要アルトキハ、10時以上ノ試
験片ニ特殊ノ測延計ヲ適用シ、大力量ノ機械ヲ用キテ試験ヲ行フ
モノトス、

(七) 彈性限界外ニ於ケル壓縮量トシテハ、兩加壓臺間ノ距離ヲ内
脚器若クハ内測微計ニテ計測シタルモノヲ以テスルヲ便トス、

(八) 壓縮試驗ニ在リテハ、引張試驗ニ於ケルカ如ク、正確ニ其ノ破壊強ヲ認知スルコト難シ、

燒戻シヲナセル銅ノ如キニアリテハ、加重ニ伴ヒ、殆ント際限ナク其ノ長サヲ減シ、側方ニ膨脹ス、鑄鐵ノ如キハ壓壊点比較的明確ニシテ、第二章ニ説明セルカ如ク、軸線ニ一種ノ角度ヲナセル斜面ニ延ビ、剪斷力ニヨリテ破壊シ、鍛鐵及ビ軟鋼ノ如キハ、前二者ノ聯合狀態ヲ以テ破壊スルヲ常トス、

(九) 壓縮試驗ハ普通金属ニ對シテ行フ場合少ナク、主トシテ木材ノ現物試驗ヲ行フ場合ニ適用ス、

(一〇) 普通壓縮試驗ノ際記録スヘキ要項ハ、次ノ如シ、

- (1) 試験片ノ材質及ビ記號、
- (2) 試験片ノ全長標點間ノ長サ並ニ斷面寸法、
- (3) 現物試驗ノ如ク大形ノ試験片ヲ用フル場合ニアリテハ其ノ重量、
- (4) 最大荷重、彈性限界ニ於ケル荷重、並ニ彈性限界内ニ於テ、荷重ノ適宜ノ間隔ニ對スル壓縮量、

以上ノ要目ヲ基礎トシ、試験後算定記録スヘキ要件、――

- (5) 單位斷面ニ對スル最大荷重、
- (6) 長サト最小回轉半徑トノ比、
- (7) ヤング弾性率、
- (8) 破壊面ノ位置狀態並ニ之ニ關スル記事、

九五、屈撓試驗實施ニ關スル概說、 Bending Test

(一) 屈撓試驗ハ普通木材及ビ鑄鐵ニ對シテ行フヲ例トス、
(二) 本試驗ニ對スル裝置ハ、機械ノ型式ニヨリ多少ノ差違アレトモ其ノ原理ハ同一ニシテ両端ニ於テ、單ニ支持セラレタル試験片ノ

中央ニ集中荷重ヲ加ヘ、其ノ偏倚及ビ破壊荷重ヲ計測スルニ過キズ、(第 95 圖及ビ第 96 圖)

(三) 本校備附ノバクトン式機械ヲ用キテ、屈撓試験ヲ行フニハ前項

(五)ニ記載セル平盤ノ中央ヨリ、両側等距離ニ特殊ノ支持台ヲ固定シ、加重頭ノ下側ニ加壓台ヲ取付ケ、支持臺上ニ横架セル試験片ノ中央ニ加壓スルモノトス、(第 96 圖)

(四) 試験片ノ偏倚ヲ計測スルニハ、偏倚計ヲ用ユ、其ノ裝置ハ(第

97 圖)乃至(第 100 圖)=示スガ如シ、屈撓作用ニヨル偏倚ハ、引張作用ニヨル延伸量ニ比シ、比較的大ナルヲ以テ、偏倚計ハ測延計ノ如ク精緻ナルヲ要セス、

(第 97 圖)及ビ(第 98 圖)=示セルモノハ、普通ノ試験片ニ適用シ得可ク、(第 99 圖)ハ小形試験片ニ、(第 100 圖)ハ現形木材試験ノ場合ニ於ケルカ如キ、大形試験片ニ適用スヘキモノトス、

(五) 鑄鐵製試験片ハ、一邊ノ長サ 1 時乃至 2 時ノ方形斷面ヲ有シ其ノ長サ 1 呎乃至 3 呎ノ間ニアリ、木材試験片ハ、1 時角ニシテ長サ 3 呎内外ヲ常トス、現物試験ニアリテハ、長サ 15 呎以上ノモノヲ用フルコトアリ、

(六) b ヲ梁ノ幅 d ヲ其ノ深サ、 l ヲ徑間ノ長サトセハ、屈撓作用ニ歸因スル破折強 $\frac{bd^2}{l}$ = 比例ス、小形ノ試験片ニ對スル成績ヲ、同材質ノ大形梁ニ適用スルニ當リテハ、此ノ關係ヲ應用スルヲ要ス、

(七) 屈撓試験ノ際記録スヘキ要項ハ次ノ如シ、――

試験前及ビ試験進行中記註ヲ要スルモノ、

(1) 試験片ノ材質及ビ記號、

(2) 試験片ノ重量斷面寸法及ビ徑間ノ長サ、

(3) 加重狀態、
Manner of loading

- (4) 衡器ニ表ハレタル最大荷重並ニ最大偏倚、
 (5) 彈性限界内ニ於ケル荷重並ニ彈性限界内ニ於テ重荷ノ適
 宜間隔ニ對スル偏倚、

以上ノ要目ヲ基礎トシ、試験後算定記録スヘキモノ、—

- (6) 破折強(試験片ノ重量ヲ計算ニ入レタルモノ)、
 (7) ヤンク弾性率、
 (8) 縦剪斷内力ノ最大値、
 (9) 破折面ノ狀態並ニ之ニ關スル記事、

九六、捩試験ニ關スル概説、

Twisting test

- (一) 漉試験ハ、主トシテ鍛鐵及ビ鋼ノ丸棒ニ對シ行フモノトス、
 (二) 普通車軸ハ、捩レニ加フルニ撥ミ若クハ壓力ヲ受クルモノナレ
 トモ、捩試験アリテハ直接此ノ聯合作用ニ對スル耐力ヲ検定スル
 モノニアラス、
 (三) 試験片ハ所望ノ直徑ニ仕上ケ、其ノ両端擴大部ニハ把子ノ凸起
 部ニ嵌合スヘキ凹溝ヲ有シ、軸線ノ方向ニ於ケル伸縮ニ供フ、
 (四) 試験片ノ一端ヲ固定シ、他端ニ軸線ト直角ナル平面ニ作用セル
 漉能率ヲ加フ、
 (五) 漉能率ヲ與フルニハ、試験片ノ一端ニ固定セル腕及ビ重量ノ裝
 置ヲ以テシ、試験片ノ屈撓ヲ防止スル爲メ、把子ノ外周ニハ長キ
 軸承ヲ裝備ス、
 (六) 試験中加重腕ヲ常ニ平衡位置ニ保タンカ爲メ、捩歪ニ應シ試験
 片ノ他端ヲ其ノ位置ニ於テ回轉シ、同時ニ捩レノ量ヲ計測スルノ
 裝置ヲ有ス、
 (七) 漉試験裝置ニ關スル一般ノ概念ハ、(第101圖)ニヨリテ了解ス
 ルコトヲ得可シ、

(八) 本校備附ノバクトン機械ニ在リテハ、前記ノ原理ヲ應用セル特殊ノ裝置ヲ、機械ノ後側ニ取付ケ捩試驗用ニ供ス、

試驗片ノ一端ハ、其ノ軸線カ恰カモ衡梁ノ圭子ニ一致スル如キ位置(衡梁ノ後側)=固定セル把子ニ嵌入シ、他端ハ周圍ニ度盛ヲ施セアル螺齒車ノ中央ニ裝置シアバ筒形把子ニ嵌入シ、荷重ニ應シ螺齒車ヲ回轉ツツ、捩角ヲ計測シ得ルノ裝置ナリ、

試驗片嵌入部ニ於ケル構造ハ、前記ノ原理ニ從フ、

(九) 荷重ノ計測ハ、張力試驗ノ場合ニ同シク、捩能率ハ指示荷重ト圭子間距離トノ相乘積ナリ、

(一〇) 本試驗ニ於ケル捩角シ測定ハ、前記ノ螺齒車裝置ニヨルコトヲ得レトモ、其ノ結果不正確ナルヲ免レス、故ニ精密ヲ要スル場合ニアリアハ(第102圖)ニ示セルカ如キ裝置ヲ、試驗片ノ標點ニ取付ケ計測ヲ行フヲ可トス、

(一一) 試驗片ノ破壊面ハ、可延性ノモノニアリテハ、軸線ニ直角ヲナシ、脆質ノモノニアリテハ、螺狀ヲナスヲ常トス、

(一二) 本試驗ニ於テ記錄ヲ要スル項目ハ、次ノ如シ、

試驗前及ビ記錄中ニ記錄スヘキモノ、――

- (1) 試驗片ノ材質記號並ニ其ノ寸法、
- (2) 彈性限界並ニ破壊点ニ於ケル全捩能率、
- (3) 彈性限界内ニ於テ荷重ノ適宜間隔ニ於ケル捩角、

試驗後計算記錄スヘキモノ、

- (4) 彈性限界ニ於ケル外極纖維内力、
- (5) 最大捩能率ヨリ計算セル皮想的外極纖維内力、
- (6) 剛性率、
- (7) 破壊点ノ位置狀態並ニ之ニ關スル記事、

九七 荷重對試驗圖自記裝置、

以上各種ノ試驗ニ於ケル荷重對延伸圖ハ、試驗進行中ノ記錄ニヨリ後日之ヲ企畫スルコトヲ得レトモ、其ノ簡便法トシテ、試驗中ニ於ケル荷重ト歪トノ關係ヲ、自働的ニ畫ク事ヲ得ルノ裝置アリ、之ニヨリテ得タルモノヲ自記線圖ト稱ス、

Autographic diagram

次ニ張力試驗ノ場合ニツサ、本裝置動作ノ一般ヲ概説センニ、此ノ線圖ハ直角坐標ノ縱坐標ニ延伸量ヲ表ハス様紙片ニ畫カルルヲ常トス其ノ畫子ハ紙片ニ對シ、荷重並ニ歪ニヨリ管制セラルヘキ二種ノ獨立的運動ヲナササルヘカラス。

此ノ二種ノ内歪ミニ管制セラルヘキ運動ハ、直接試驗片ヨリ傳達セラレ、正確ニ両標点間ノ相對的運動ヲ表ハス、而シテ其ノ動程ハ中途ニ於テ廓大ナルコトアリ、或ハ然ラサルコトアリ又荷重ニ管制セラルヘキ運動ハ普通ノ機械ニアリテハ、衡梁ニ於ケル分銅ノ運動ヲ縮程シ畫子ニ傳達スルモノナルヲ以テ、衡梁ヲ常ニ平衡位置ニ保ツニアラサレハ正確ナル結果ヲ與ヘサルモノトス、故ニ試驗者未熟ナルトキハ、試驗中ノ記錄ニヨリ企畫スル線圖ニ比シ稍々不正確ナルヲ免レス然レトモ製鐵所等ニ於ケルカ如ク、同種ノ試驗ヲ連續施行スルニ當リ、各試驗片ノ機械的性狀ヲ比較センニハ、最モ簡便有効ナルモノトス、

(第103圖)ハアンウキン氏自記裝置構造ノ略圖ヲ示スモノニシテ、其ノ動作ハ圖ニヨリテ明カナルカ如ク、分銅ノ動程ヲ紙筒ニ、歪ヲ畫子ニ傳動スル裝置ナリ、

本校備附ノ機械ニ附屬セルモノハ、(第103圖)ト殆ント同一ノ原理ヲ有スルモノニシテ、分銅ノ動程(縮程裝置ニヨリ、 $\frac{1}{10}$ 若クハ $\frac{1}{20}$ ニ縮少スルコトヲ得)ヲ畫子ニ、歪ヲ紙筒ニ傳動(二倍ニ廓大ス)スル裝置ナリ、

此ノ他ウキツクスチード、ケンネティー、グツドマングレイ等ノ發

案ニ係ル自記裝置アリ、各其ノ特質ヲ有スレトモ、何レモ複雜精緻ニシテ、科學的研究ニ適用セラルルニ過キス、

九八 剪斷試驗並ニ打貫試驗、 Shearing Test Punching Test

(一) 剪斷試驗、—本試驗ニ在リテハ、引張試驗ニ於ケルカ如ク完全ナル成績ヲ得ルコト困難ニシテ、而カモ實用上普通金屬材料ノ剪斷強ハ引張強ニ對シ、略ホ一定ノ比ヲ有スルモノト假定スルコトヲ得ルモノナルヲ以テ、特別ノ場合ノ外此ノ種ノ試驗ヲ行ハサルヲ例トス

本試驗ヲ行フニハ、單ニ(第104圖)ノ如キ原理ヲ應用セハ可ナリ、試驗片 AB 及ビ A 及ビ B = 於テ、F 及ビ F' = 固定シ、之等二把片ニ反對方向ノ並行運動ヲ加フルニ外ナラス、此ノ際試驗片ニ屈撓作用ヲ起サシメザル様 F, F' ヲ可成接近セシメザルヘカラス、

本校備附ノバクトン機械ニアリテハ、此ノ原理ヲ應用セル特種附属具ヲ平盤上ニ固定シ、壓縮試驗ト同様ノ要領ニ從ヒ本試驗ヲ遂行ス、

次ニ参考ノ爲メ、普通ノ金屬材料ニ對スル引張強(f_t)及ヒ剪斷強(f_s)ノ實驗成績並ニ両者ノ比ヲ示ス、

材 料	f_s tons/ \square''	f_t tons/ \square''	Ratio $\frac{f_t}{f_s}$
Bessemer steel	35.21	52.20	0.67
Steel propeller shaft	18.10	27.36	0.66
Cast steel	27.60	28.04	0.72
Rivet steel	24.35	27.46	0.88
W, I, bar	20.37	23.44	0.87
Copper	11.60	14.05	0.83
Gun metal	12.47	13.68	0.91
Brozec asting	10.39	11.48	0.90
Cast iron	9.54	9.74	0.98

(二) 打貫試驗、—打貫作用ハ事實上剪斷作用ノ特別ノ場合ニ過

キスシテ、(第105圖)ノ如キ附屬具ヲ適用シ、抗壓試験ノ要領ニ準シ
容易ニ之ヲ行フコトヲ得可シ、

A ハ上方ニ稍細マレル打貫鑿ニシテ、B ハ試験板、C ハ D ノ如キ
圓錐孔ヲ有スル支臺ナリ、

九九 鋼鐵類ニ導スル其ノ他ノ試験、

普通試験機械ヲ用キテ施行スヘキ各種ノ試験ニ加フルニ、其ノ材料
ノ可延性及ヒ内部ノ組織等ヲ簡明ニ認知スルノ目的ヲ以テ種々ノ簡易
試験ヲ行フヲ例トス、次ニ其ノ二三ヲ擧ケテ参考ニ資ス、(詳細ハ海
軍造船材料試験規格參照)

(a) 屈撓試験、—鋼板ニ對シテハ、約 $1\frac{1}{2}$ 時乃至2時ノ幅ヲ有ス
ル一片ヲ原板ヨリ截取シテ、濃紅色ニ熱シ、次ニ之ヲ華氏、80度ノ水
中ニ冷却シタル後其ノ厚サノ約一倍半ノ内徑ヲ有スル迄屈曲セシメ損
傷ナキヲ要ス、

鍛鉄ニ對シテハ、之ヲ熱シタル儘其ノ板ノ厚サニ應シ、90乃至120
度ニ屈曲シ損傷ナキヲ要ス、

(b) 擴孔試験、—主トシテ軟鋼板ニ適用スル試験ニシテ 4時乃至
6時内外ノ方形板ヲ原板ヨリ截取シ、其ノ中央ニ直徑 $5/8$ 時内外
ノ穿孔ヲ施シ、約 $1/10$ ノ傾斜ヲ有スル擴孔具ヲ打込ミ、直徑 $1\frac{1}{2}$ 時
内外ニ擴孔シ、裂疵ヲ生セサルヲ要ス、

(c) 衝動試験、—主トシテ軋鋼ニ適用スル試験ニシテ、之ヲ規
定ノ距離ヲ有スル二個ノ支持臺上ニ置キ、規定ノ重量ヲ規定ノ高サヨ
リ其ノ中央ニ落下セシメ、之ニヨリテ生スル偏倚カ規定ノ限界ヲ超過
セサルヲ要ス、

(d) 内部組織検査、—鋼鐵類ノ原板ヨリ、細長片ヲ截取シ、其
ノ中央部ニ刻目ヲ施シ、其ノ部ヨリ之ヲ屈曲破析セシメ、其ノ面ヲ檢

シ材質ノ良否ヲ認定ス、

一〇〇、鋼索鋼線並ニ鍼鎖試験、

(一) 鋼索試験——鋼索ニ於ケル鋼線ノ配撚法ハ、所要ニ應ジ多少差違アレドモ、最モ簡単ナル方法ハ、六本ノ鋼線ヲ同徑ノ鋼線一本ノ周圍ニ對稱的ニ撚合ハセタル束條^{Strand} 6個ヲ、更ニ同徑ノ束條1個ノ周圍ニ撚合ハスモノトス、

各束條ノ中心ニ於ケル鋼線ハ、別ニ強サヲ増スノ目的ニ使用サルモノニアラスシテ、撚合セノ便宜上設ケラレタル心線ニ過キス、然レトモ普通ノ所用ニアリテハ、此ノ心線ハ外周ノモノニ比シ更ニ大ナル内力ヲ受クルノ傾向アルヲ以テ、他ノ諸線ニ比シ軟質ノ材料ヲ使用スルヲ例トス、又索ノ中心トナルヘキ束條ハ其ノ外周ノモノト全ク同質ナルコトアリ、或ハ屈撓性ヲ増スノ目的ヲ以テ麻條ヲ代用スルコトアリ、

鋼索ハ其ノ組成上實用ニ際シ、各束線齊均ノ内力ヲ受クルモノト期待スルコト能ハサルモノニシテ、其ノ強サハ、各鋼線別個ノ強サノ和ニ比シ、約1割乃至1割5分弱キヲ常トス、

鋼索試験ニ於テ、最モ不便ヲ感スレハ、其ノ両端ヲ攔持スルノ法困難ナルニアリ、而シテ其ノ最モ簡易ニシテ有効ナルハ、(第106圖)ノ如ク試験索ノ両端ヨリ、約五吋ノ部ヲ鋼線ニテ結縛シ、全体ノ弛緩ヲ防止シタル後、他端ノ撚リヲ、戻シ各鋼線別個ニ其ノ一端約1吋ヲ鉤形ニ曲ケ込ミ索端ヲ圓錐形ニ形成シ、之ヲ洗滌シタル後、破質ノ白色合金ヲ用キテ特種ノ承口ニ鑄込ミタルモノヲ加重頭ニ嵌入シ、引張試験ト同一要領ニヨリ實験ヲ行フモノトス、

(二) 鋼線試験、——鋼線ニ對シテハ次ノ三種ノ試験ヲ行フヲ例トス、

(a) 規定角度間ニ於ケル反覆屈曲試験、

(b) 摳試験、

(c) 引張試験

(三) 鎖鎖試験、——鎖鎖ニハ、次ノ如キ三種ノ引張試験ヲ行フヲ例トス、

(a) 鎖鎖ヲ作成スヘキ棒其ノ物ニ對スル普通引張試験——最大内力延ビノ百分比並切斷面狭搾百分比ヲ検定ス、

(b) 鎖鎖ノ標準長(約36吋)ニ對スル破壊強試験、——破壊試験並ニ指定ノ長サニ對スル延伸量ヲ検定ス、

(c) 鎖鎖ノ全長ニ對スル安全引張試験、——指定荷重ヲ加ヘ其ノ延伸量及び損傷ノ有無ヲ検ス、

一〇一、木材、

木材ハ鋼鐵類ニ比テ、其ノ重量輕ク加工容易ニシテ而カモ其ノ價格廉ナル等ノ利點アルヲ以テ、其ノ應用範圍頗ル大ナリ、

木材ノ強サハ鋼鐵類ニ比シ、一層變化大ナサモノニシテ加力方向ニヨリ差異アルハ勿論、地味、氣候、年齢、截取季、乾燥法及ビ其程度試験片截取ノ部局、其ノ他成育期間ニ於ケル種々ノ情勢ニヨリ、大ニ影響セラルモノナルヲ以テ、同種ノモノニアリテモ其ノ強サニ豫想外ノ差異アルモノタルヲ記憶セサルヘカラス、

木材試験ニハ可成現物ニ近キ大形片ヲ用フルヲ可トス、是レ木材ハ其ノ纖維ノ變化大ナルノミナラス、各部ニ節其ノ他ノ局部的瑕斑アルヲ免レサルヲ以テ、一小試験片ノ成績ヲ比例的ニ大形ノモノニ適用スルハ頗ル危險ナルニヨル、

木材ハ截取ノ際含有セル水分ノ約95%ヲ蒸發セトキ最大強ニ達スルモノニシテ、截取當時ニアリテハ約此ノ最大強ノ1/2ノ強サヲ有ス

百萬合、其ノヘタリ當ニテ古ヤ鎌船等其木舟等ニ通入テ張ニハ
大不門モ又船ニ(或リ牙既出)蓋者)中頭一間モ出張
者。ナリロス行駆マ難易、洞音響對照測定則別付ヘモと被ニ林木
之子木鐵則加氣體風ヘモヘヘヘヘヘヘヘ
鑄工事事先モ難易度ハモ前々モ提ニ中頭大木頭加氣體
難度也。其ヘタリ被ニ引銀鉛運ハシテノアス不々、實木
シヤ成育ヘモイ難易度出、貴林谷ニ端。ナリモ半木ヘ大頭冒底
木鐵則。單面ノ最。齊齊ハ木樓ニ中頭大木ノヘモ。第ニ難易度
度モヘモ大木ヘ坐也。ナリス後ニ林木ノ表。ナリテ株ヘモ樹モ子ニ
ナリ。ナリス後モ樹モ大木頭出前難度也。其ヘ
易モ。書合時モ書セヨ莫實木ヘ其ノハ計算モ。餘ニ難易度
ヘ其ノ林支モ鐵兩ヘ難度也。ニベス後ニ難度也。又ヒニモ大
鐵則。書十席ヘモ第モセ見ヘ其ノハナヘ字紙ヘ賦モ重荷。火中
又モニベスチ見ニ更ニ來來モ難度ヘ底量モ。又木頭骨材ヘ式内測頭
諸林木ニ端。スリ開テ木來來モ難度ヘ底量モ。又木頭骨材ヘ
スリヘテモテ要也ヘス難度也。又木頭骨材ヘテモテニ難

ルニ過キズ、故ニ各種木材ノ比較試験ヲ行フニ當リテハ、其ノ含濕百分比ヲ同一程度(普通 12 乃至 15 %)ニ保ツヲ例トス、

木材ニ對シテハ引張壓縮剪斷屈撓等各種ノ試験ヲ施行スレドモ、普通ニ行ハルモノハ壓縮及ビ屈撓試験トス、

壓縮試験ハ大形試験片ニ對シテハ純粹ナル壓潰強ヲ決定スルコト能ハサルノ不利アレドモ、小形試験片ニ對シテハ其ノ法簡易ニシテ成績モ亦信頼スヘキモノトス、故ニ各材質ノ比較試験トシテハ有効ナリ、

屈撓試験ニ在リテハ、大形試験片ニ對スル成績ヲ最モ簡単ニ認知スルコトヲ得ルノ利アリ、殊ニ木材ニ對スルヤング率ハ大ナラサルヲ以テ、其ノ彈性偏倚比較的大ニシテ計測容易ナリ、

屈撓試験狀態ニ於ケル破折ハ、其ノ材質及ビ寸法ノ割合等ニヨリ異なるモノニシテ、之ヲ實驗ニ徵スルニ、矩形梁ノ両端ヲ支持シ、其ノ中央ニ荷重ヲ加フルモノトセバ、其ノ長サカ深サノ系十倍ニ達スル迄ハ、縱剪斷内力ノ作用ニヨリ最初ノ破壞ヲ來タシ更ニ長キモノニアリテハ、直系屈撓内力ニヨリ最初ノ破壞ヲ來タスヲ例トス、故ニ木材試験ニアリテハ縱剪斷内力ノ強サヲ計算記錄スルノ必要アルモノトス、

TABLE I—Average Strength Properties for
Use of Rough Calculation.

Strength—lbs. per sq. inch.

Materials.	Weight per cub. ft. lbs.	Coeff. of linear expans. Fah.	Young's※ modulus. E	Elastic ※ Limit.	Ultimate strength.			
					Tension.	Compress.	Shearing.	Bendng.
Brick	125	0.0000050	2×10^6	1,000	—	3,000	700	800
Concrete	150	0.0000055	2.5×10^6	800	300	3,000	1,200	—
Stone	160	0.0000050	6×10^6	2,000	—	6,000	1,500	2,000
Timber	40	0.0000020	1.5×10^6	3,000	10,000	8,000	$\frac{500+}{3,000}$	9,000
Cast iron	450	0.0000062	15×10^6	6,000 20,000	20,000	90,000	20,000	35,000
<u>Wrought iron</u>	480	0.0000067	28×10^6	25,000	50,000	50,000	40,000	—
Structural steel	490	0.0000065	30×10^6	35,000	60,000	60,000	50,000	—
Strong steel	491	0.0000065	30×10^6	50,000	100,000	120,000	75,000	110,000

※Values for Brick, Concrete, and Stone are for compression only.

For Cast Iron the upper values apply to tension and the lower ones to compression. For other materials the values apply to both tension and compression.

+The upper value applies to the strength with grain and the lower one to that across grain.

TABLE II—Ultimate and Elastic Strength
of Metals.

lbs. per sq. inch.

Materials.	Ultimate strength.			Elastic strength.			Young's Modulus. E	Modulus of Rigidity C
	Tension	Com- press.	Shear.	Ten- sion.	Com- press.	Shear.		
Cast iron	20,000	95,000	20,000	10,000	25,000	8,000	15×10^5	6×10^5
Malleable iron	35,000	42,000	20,000	—	—	—	—	—
Wrought iron	55,000	—	40,000	30,000	28,000	22,000	28×10^5	10×10^6
Steel, 0.15 C.	63,000	—	48,000	42,000	40,000	—	30×10^5	10×10^6
Steel, 0.50 C.	80,000	—	57,000	48,000	46,000	—	30×10^5	10×10^6
Steel, 0.70 C.	89,000	—	60,000	53,000	53,000	—	30×10^5	10×10^6
Steel, 0.96 C.	118,000	—	83,000	69,000	71,000	—	30×10^5	10×10^6
Steel, boiler plate	60,000	—	48,000	30,000	—	—	30×10^5	—
Crusible steel	116,000	—	—	80,000	80,000	—	31×10^5	12.4×10^5
Steel castings	50,000	—	40,000	30,000	30,000	—	25×10^5	—
Nickel steel	90,000	—	—	60,000	—	—	31×10^5	—
	100,000	—	—	—	—	—	—	—
Copper castings	22,000	60,000	—	6,000	—	—	12×10^5	—
Rolled copper	31,000	—	—	6,000	—	—	15×10^5	—
Brass castings	20,000	12,000	—	—	—	—	10×10^6	—
Bronze-gun metal	35,000	—	—	—	—	—	12×10^5	—
Bronze-phosphor	50,000	—	—	20,000	—	—	14×10^5	—
Tobin metal	80,000	—	—	55,000	—	—	—	—
Aluminum castings	15,000	12,000	12,000	6,500	3,500	—	11×10^5	—

※Cast iron has, properly speaking, no elastic limit.

TABLE III.—WORKING STRESSES.

A—Steady or Permanent Load.

Materials.	Kind of stress.				
	Tension f_t	Compression f_c	Bending f_b	Shear f_s	Torsion
Cast iron	4,200	12,000	6,000 to 8,000	4,000	4,000 to 6,000
Bar iron	15,000	15,000	15,000	12,000	7,500
Plate iron, with grain	13,500
Plate iron, across grain	12,000	10,000
Steel, mild	{ 13,000 to 17,000	{ 13,000 to 17,000	{ 13,000 to 17,000	{ 10,000 to 13,000	{ 8,000 to 12,000
Steel, castings	{ 8,000 to 12,000	{ 12,000 to 16,000	{ 10,000 to 14,000	{ 7,000 to 12,000	{ 7,000 to 12,000
Bronze, phosphor	10,000	7,000	4,200
Gun, metal	4,200
Rolled copper	6,000	2,400
Brass	3,000

TABLE III. (*Continued.*)

B.—Load Varying Frequently from 0 to a Greatest Value.

Materials.	Kind of stress.				
	Tension f_t	Compression f_c	Bending f_b	Shear f_s	Torsion
Cast iron	2,800	8,500	4,000 to 5,500	2,800	2,500 to 4,000
Bar iron	10,000	10,000	10,000	8,000	5,000
Plate iron, with grain	9,000
Plate iron, across grain	8,000	6,500
Steel, mild	{ 8,000 to 12,000	{ 8,500 to 12,000	{ 8,500 to 2,000	{ 6,500 to 8,500	{ 5,500 to 8,000
Steel, casting	{ 5,000 to 8,000	{ 8,000 to 10,000	{ 6,500 to 9,500	{ 4,500 to 8,000	{ 4,500 to 8,000
Bronze, phosphor	6,500	4,500	2,800
Gun metal	2,800
Rolled copper	3,000	1,600
Brass	2,000

TABLE III. (*Continued.*)

C.—Load Producing Alternate Stresses of Opposite Sign.

Materials.	Tension and compression	Bending	Shear	Torsion
Cast iron	1,400	2,000 to 2,500	1,400	1,200 to 2,000
Bar iron	5,000	5,000	4,000	2,500
Steel, mild	4,500 to 6,000	4,500 to 6,000	3,500 to 4,500	2,500 to 4,000
Steel, castings	2,500 to 4,000	3,500 to 5,000	2,500 to 4,000	2,500 to 4,000
Gun metal	1,400

整番	理号
寄贈者名	主井喜一
寄年月日	40.7.22
一卷	2769